

Modelli Matematici per la Biologia – Esercitazione 3

a.a. 2006-2007

Dott. Simone Zuccher

04 Maggio 2007

Nota. Queste pagine potrebbero contenere degli errori: chi li trova è pregato di segnalarli all'autore (zuccher@sci.univr.it).

1 Ritratti di fase e traiettorie di alcuni sistemi dinamici simulati al calcolatore

1.1 Esercizio

Studiare, al variare delle condizioni iniziali e del tempo finale, il comportamento del sistema

$$\begin{cases} x' &= y + x(x^2 + y^2 - 1) \\ y' &= -x + y(x^2 + y^2 - 1) \end{cases}$$

1.1.1 Risoluzione

Si verifica facilmente che l'unico punto di equilibrio del sistema è l'origine. Procedendo con l'analisi agli autovalori del problema linearizzato si ottiene lo Jacobiano

$$J(x, y) = \begin{pmatrix} y^2 + 3x^2 - 1 & 2xy + 1 \\ 2xy - 1 & 3y^2 + x^2 - 1 \end{pmatrix},$$

che calcolato nell'origine risulta

$$J(0, 0) = \begin{pmatrix} -1 & 1 \\ -1 & -1 \end{pmatrix}$$

ed ammette i due autovalori complessi $\lambda_{1,2} = -1 \pm i$, entrambi con parte reale negativa. Pertanto, l'origine è un fuoco stabile (si noti che queste conclusioni hanno valore locale). Inoltre, i punti della circonferenza con centro nell'origine e raggio unitario formano un ciclo instabile. Per verificarlo, basta moltiplicare la prima equazione per x , la seconda per y , e sommare membro a membro le due equazioni ottenute. Indicando con $\rho = \sqrt{x^2 + y^2}$ (i.e. la distanza dall'origine, come per le coordinate polari), si ottiene l'equazione differenziale ordinaria $\rho \rho' = \rho^2(\rho^2 - 1)$. Ricordando che $\rho > 0$ se $x \neq 0 \wedge y \neq 0$, la funzione

$\rho(t)$ risulta decrescente per $0 < \rho < 1$ e crescente per $\rho > 1$, pertanto le traiettorie collassano nell'origine se il dato iniziale ha distanza da essa minore di 1, mentre esplodono in tempo finito se si parte da dati iniziali con distanza dall'origine maggiore di 1 (fuori dalla circonferenza unitaria). Da queste considerazioni si deduce facilmente che la circonferenza unitaria è un ciclo limite instabile. La soluzione non esiste per tempi grandi e, numericamente, si può facilmente determinare il tempo di *blow up*.

Un modo alternativo, e squisitamente analitico, per capire la natura della circonferenza unitaria è il seguente. Assumendo di prendere un dato iniziale (x, y) perturbato rispetto ad un punto sulla circonferenza si ottiene $x^2 + y^2 - 1 = \epsilon$, dove ϵ è piccolo a piacere ma può essere positivo (se la perturbazione porta il punto fuori dal cerchio unitario) o negativo (se il punto perturbato si trova all'interno). Il sistema diventa quindi

$$\begin{cases} x' &= y + x\epsilon \\ y' &= -x + y\epsilon \end{cases}$$

che ammette l'origine come punto di equilibrio. L'analisi agli autovalori del sistema (che è già lineare) fornisce $\lambda_{1,2} = \epsilon \pm i$. Pertanto l'origine è stabile se $\epsilon < 0$, instabile se $\epsilon > 0$, che conferma quanto dedotto dall'equazione differenziale ordinaria per $\rho = \sqrt{x^2 + y^2}$. La circonferenza $x^2 + y^2 = 1$ è quindi instabile perchè partendo vicino ad essa ci si allontana al crescere di t .

Di seguito sono riportati alcuni esempi che evidenziano la natura dell'origine come fuoco stabile (figura 1), il ciclo limite instabile $x^2 + y^2 = 1$ (figura 2 - si noti che la soluzione si allontana dalla circonferenza solo a causa degli errori numerici), e la divergenza del sistema in tempo finito (figure 3 e 4). Si noti, confrontando le figure 3 e 4, che il tempo di blow-up diminuisce al crescere della distanza dall'origine per la condizione iniziale.

Utilizzando il file `sys1.m` per [GNU Octave](#) di seguito riportato si possono fare diverse prove al variare della condizione iniziale e del tempo finale di integrazione. **Si ricordi di cambiare gli estremi della finestra di visualizzazione dipendentemente dalla condizione iniziale.**

```
% Name:      sys1.m
% Author:    Simone Zuccher
% Created:   03 May 2007
% Purpose:   Solve the ODE system
%           x'=y+x(x^2+y^2-1)
%           y'=-x+y(x^2+y^2-1)
%           given the initial condition x0 and y0
% Input:     Initial condition [x0 y0], final time tfinal
% Output:    1. plot of x(t) versus y(t) together with the vector field
%           2. plot time histories of x(t) and y(t)
% Modified:
%
% The equilibrium points are the following:
%
% [x = 0, y = 0],
%
```

```

% Clear all variables
clear all;

% Window ranges
xmin=-3;
xmax=3;
ymin=-3;
ymax=3;

% Equilibrium points
eq = [0 0];
disp('Equilibrium points:');
disp(eq);

% Set initial conditions
x0=input('Insert initial conditions [x0 y0]: ');

% Set final time for integration
tmax=input('Insert final time: ');

disp('Initial condition:');
disp(x0);

% Time parameters
tmin=0;
dt=.01;
% Create time
t = tmin:dt:tmax;

% dx and dy used only for vectors
dx=abs(xmax-xmin)/30;
dy=abs(ymax-ymin)/30;
% rescales vector size
scale=0.027*max(abs(xmax-xmin),abs(ymax-ymin));

% Definition of the dynamical system
function xdot=limitc(x, t)
    u = x(1);
    v = x(2);
    xdot(1) = v+u*(u^2+v^2-1);
    xdot(2) = -u+v*(u^2+v^2-1);
endfunction

__gnuplot_set__ nokey

setax=[xmin xmax ymin ymax];

```

```

axis(setax)

[X, Y] = meshgrid(xmin:dx:xmax, ymin:dy:ymax);
DX = Y+X.*(X.^2 + Y.^2 - 1);
DY = -X+Y.*(X.^2 + Y.^2 - 1);
L = sqrt(DX.^2 + DY.^2);
mytitle=["Phase portrait. Initial conditions: x0=" num2str(x0(1)) " , y0=\
        " num2str(x0(2))];
__gnuplot_set__ nokey
__gnuplot_set__ xlabel 'x(t)'
__gnuplot_set__ ylabel 'y(t)'
title(mytitle)

% Plot vector field
quiver(X, Y, scale*DX./L, scale*DY./L)
hold on;

% Plot all equilibrium points
plot( eq(:,1), eq(:,2), '*k')

x = lsode("limitc", x0, t)';
plot( x(1,1), x(2,1), '*k', x(1,:), x(2,:), '-r')
hold off;

% Wait for keypressed
disp('Please press a key to continue...');
pause();
mytitle=["Time histories. Initial conditions: x0=" num2str(x0(1)) " , y0=\
        " num2str(x0(2))];
__gnuplot_set__ auto
__gnuplot_set__ xlabel 't'
__gnuplot_set__ ylabel 'x(t), y(t)'
title(mytitle)
__gnuplot_set__ key

% Plot time histories
plot( t, x(1,:), '-r;x(t);', t, x(2,:), '-g;y(t);')

```

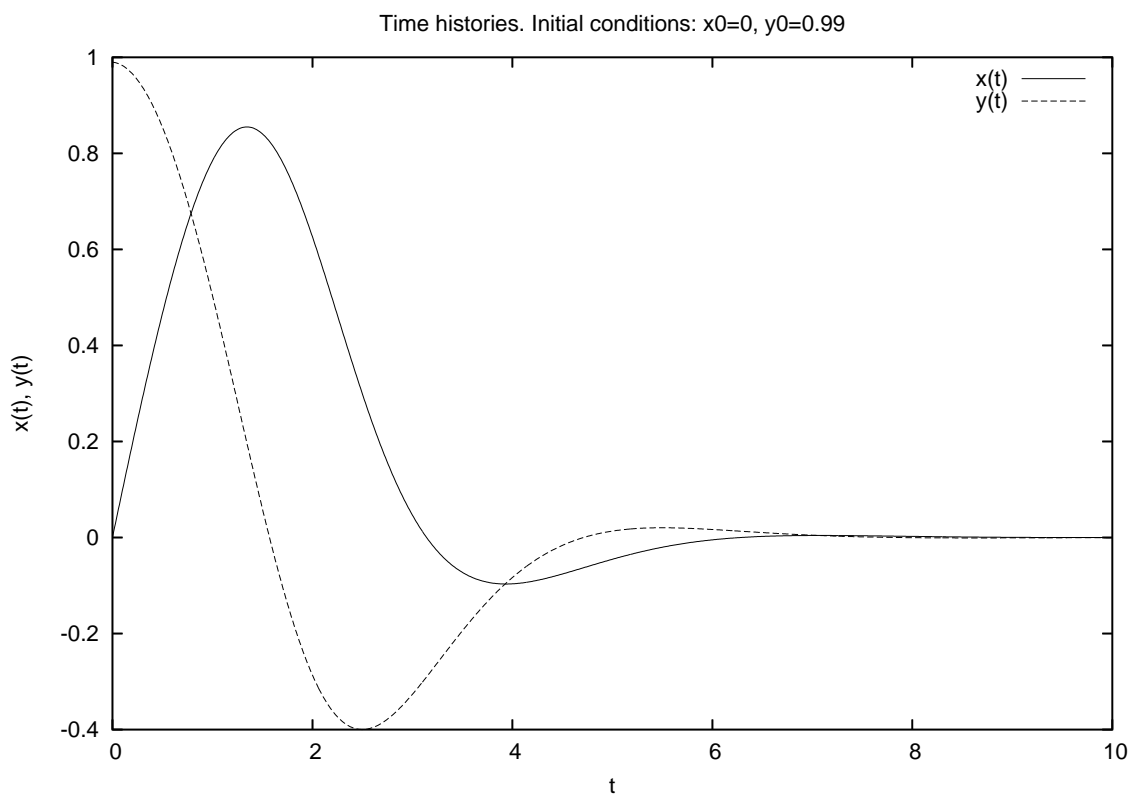
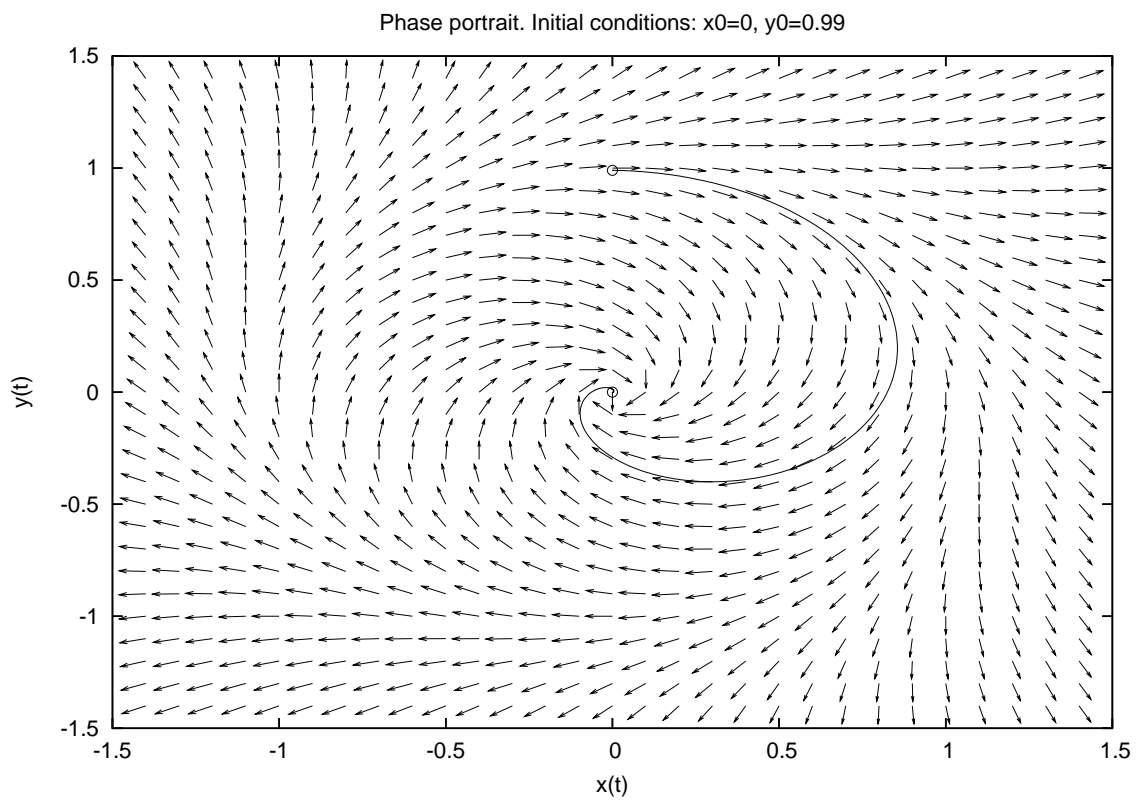


Figura 1: Ritratto di fase e storia temporale per $(x_0, y_0) = (0, 0.99)$ e $t_f = 10$.

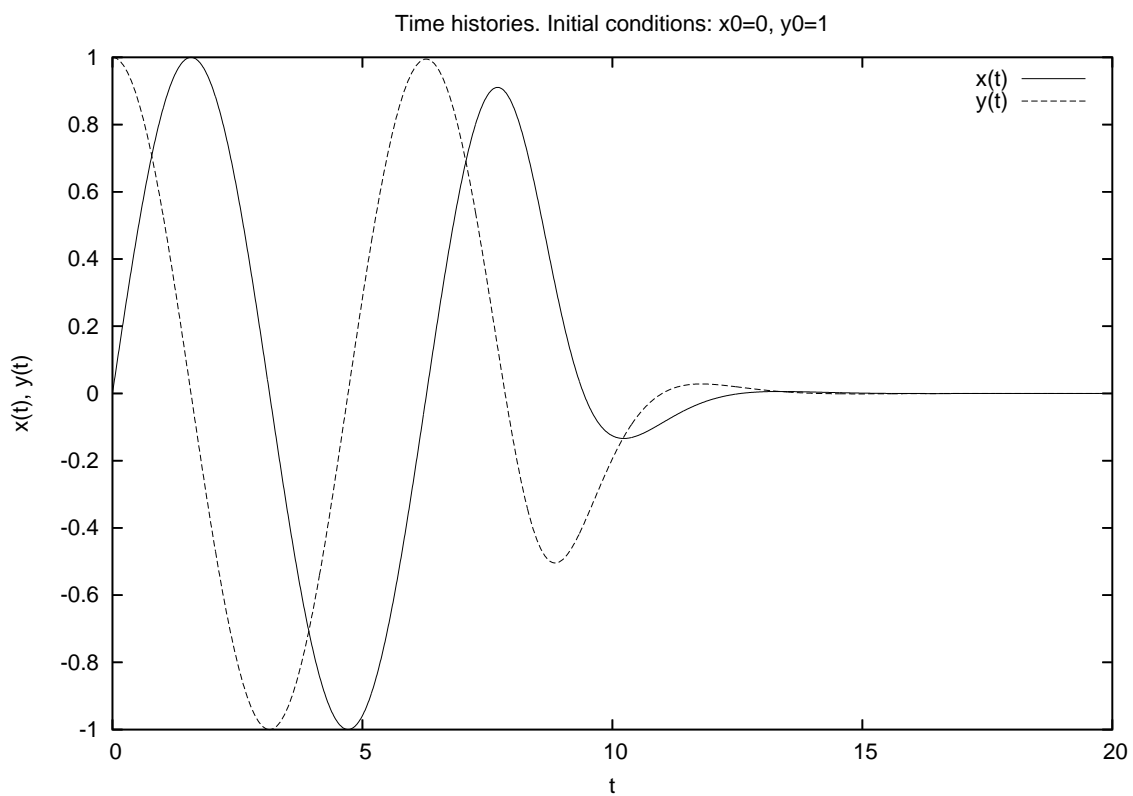
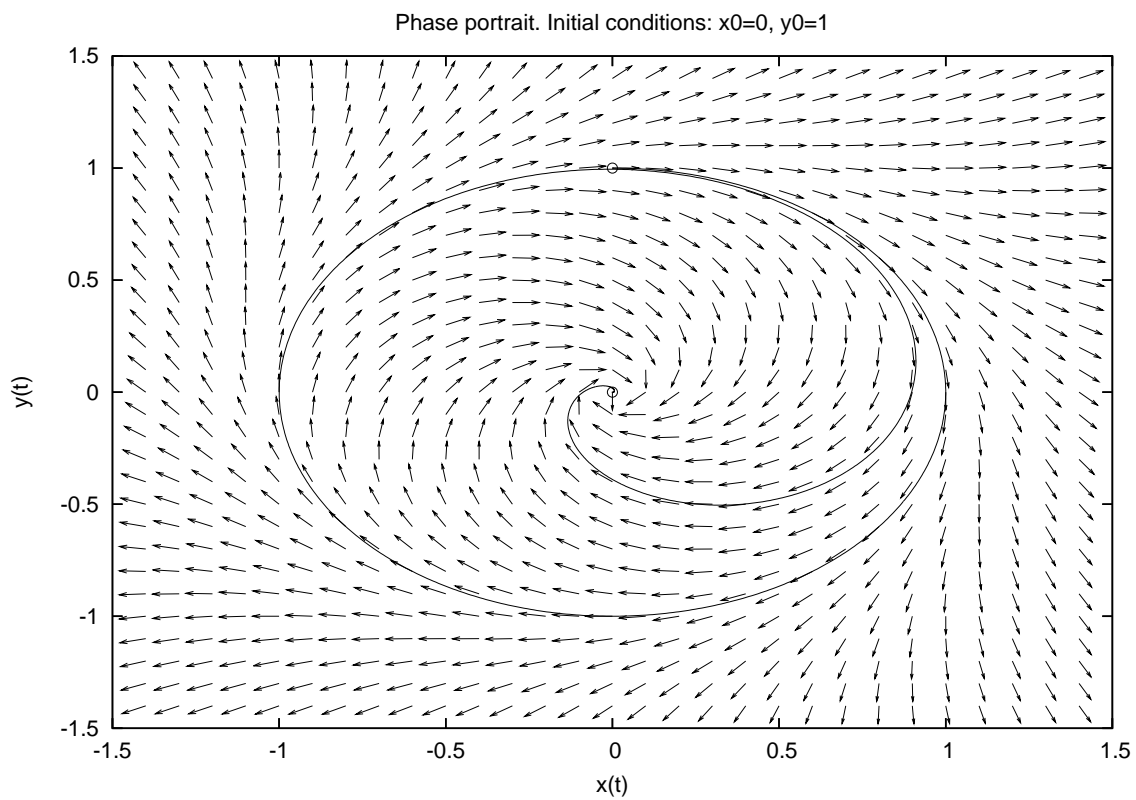


Figura 2: Ritratto di fase e storia temporale per $(x_0, y_0) = (0, 1)$ e $t_f = 20$.

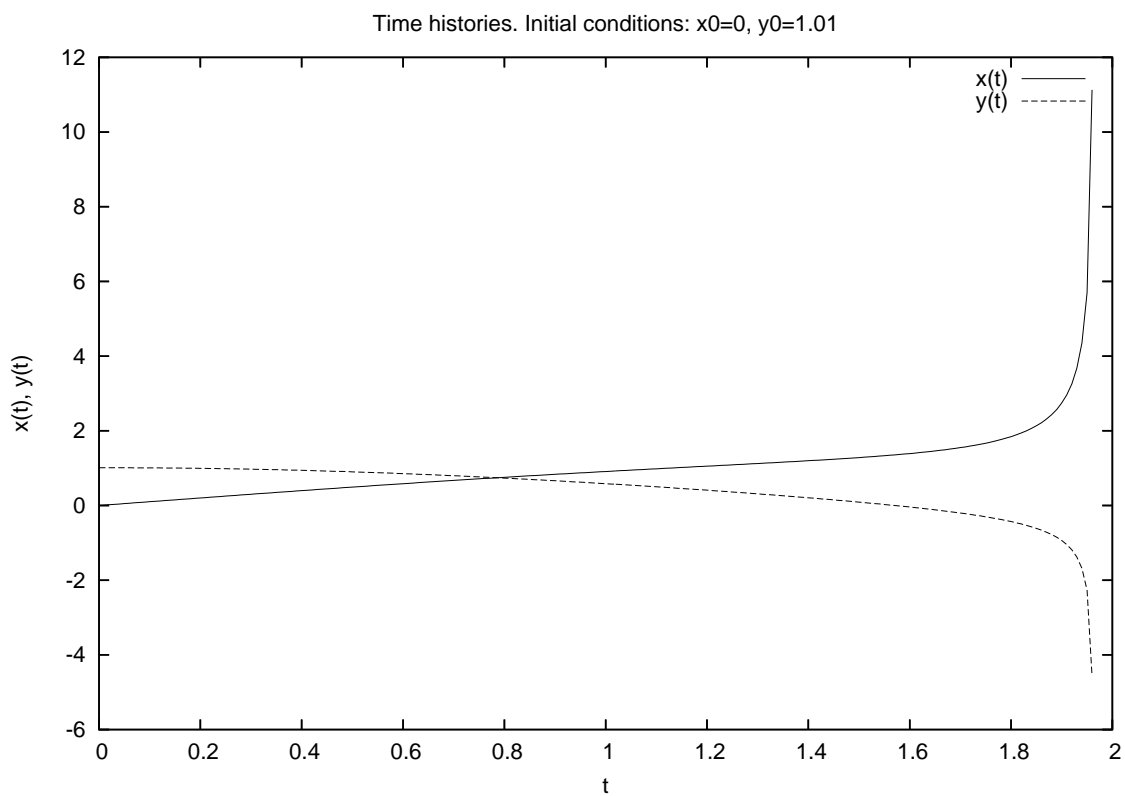
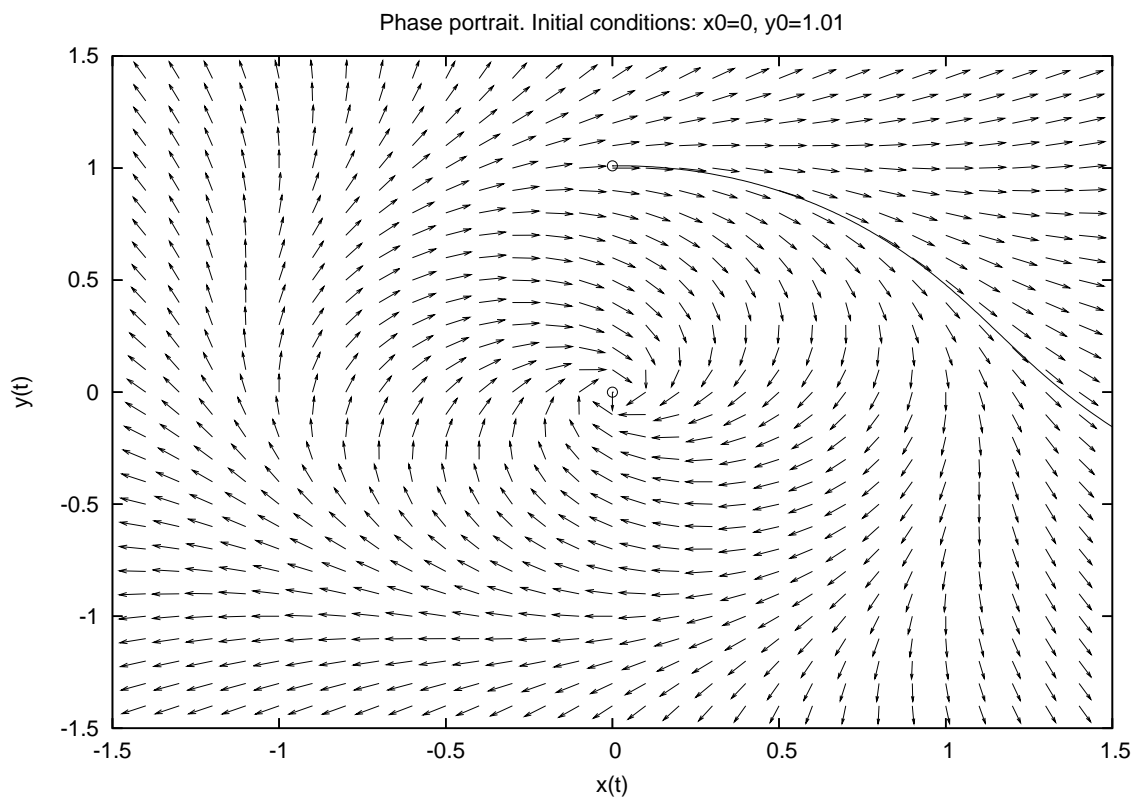


Figura 3: Ritratto di fase e storia temporale per $(x_0, y_0) = (0, 1.01)$ e $t_f = 1.96$.

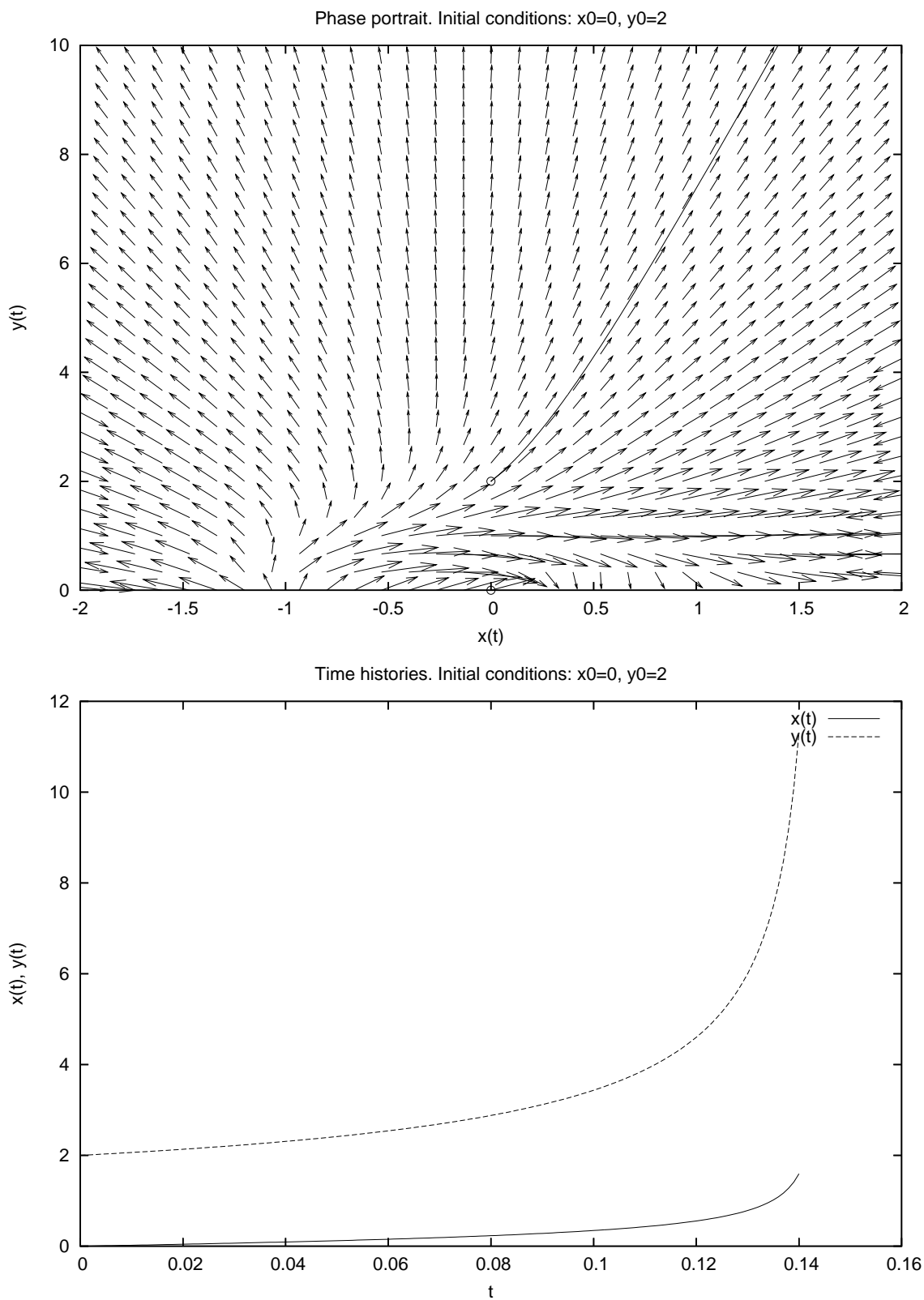


Figura 4: Ritratto di fase e storia temporale per $(x_0, y_0) = (0, 2)$ e $t_f = 0.14$.

1.2 Esercizio

Studiare, al variare delle condizioni iniziali e del tempo finale, il comportamento del sistema

$$\begin{cases} x' &= y + x(\cos(x^2 + y^2) - 1)(\sin(x^2 + y^2) - 1) \\ y' &= -x + y(\cos(x^2 + y^2) - 1)(\sin(x^2 + y^2) - 1) \end{cases}$$

1.2.1 Risoluzione

L'unico punto di equilibrio per il sistema dato è l'origine. Per capirne la natura, basta seguire l'analisi standard degli autovalori del sistema linearizzato. Così facendo si ottengono entrambi gli autovalori complessi a parte reale positiva. L'origine è quindi un fuoco instabile. Alternativamente, si può studiare l'equazione differenziale ordinaria della distanza dall'origine ($\rho = \sqrt{x^2 + y^2}$) ricavata moltiplicando la prima equazione per x , la seconda per y , e sommandole. Così facendo si ottiene $\rho \rho' = \rho^2(\cos(\rho^2) - 1)(\sin(\rho^2) - 1)$, da cui, dopo aver diviso per $\rho > 0$, si ottiene $\rho' > 0$ sempre, tranne quando $\rho^2 = 2k\pi$ oppure $\rho^2 = \pi/2 + k\pi, k \in \mathbb{Z}^+$. Questo significa che la distanza dall'origine non diminuisce mai ma le orbite vengono catturate da circonferenze del tipo

$$x^2 + y^2 = 2k\pi \quad \text{e} \quad x^2 + y^2 = \pi/2 + k\pi, \quad k \in \mathbb{Z}^+$$

che sono, quindi, dei cicli semi-stabili.

Utilizzando il file `sys2.m` di seguito riportato si possono visualizzare i diversi comportamenti al variare della condizione iniziale e del tempo finale di integrazione. In particolare, si può analizzare cosa succede partendo da condizioni iniziali (x_0, y_0) tali per cui la loro distanza dall'origine $\rho_0 = \sqrt{x_0^2 + y_0^2}$ varia in certi range. Per fissare le idee, si può prendere $x_0 = 0$ e variare y_0 .

- $0 < \rho_0 < 0.25$. Si osserva un allontanamento dall'origine piuttosto lento, come riportato in figura 5.
- $0 < \rho_0 < \sqrt{\pi/2} \approx 1.253$. Si osserva un allontanamento dall'origine piuttosto veloce e lo stabilizzarsi sull'orbita distante dall'origine $\sqrt{\pi/2}$, come riportato in figura 6.
- $\sqrt{\pi/2} \approx 1.253 < \rho_0 < \sqrt{2\pi} \approx 2.5$. Si osserva un allontanamento dall'origine piuttosto veloce e lo stabilizzarsi sull'orbita distante dall'origine $\sqrt{2\pi}$, come riportato in figura 7.

Si ricordi di cambiare gli estremi della finestra di visualizzazione dipendentemente dalla condizione iniziale.

```
% Name:      sys2.m
% Author:    Simone Zuccher
% Created:   03 May 2007
% Purpose:   Solve the ODE system
%           x'=y+x(cos(x^2+y^2)-1)(sin(x^2+y^2)-1)
%           y'=-x+y(cos(x^2+y^2)-1)(sin(x^2+y^2)-1)
%           given the initial condition x0 and y0
```

```

% Input:    Initial condition [x0 y0], final time tfinal
% Output:   1. plot of x(t) versus y(t) together with the vector field
%           2. plot time histories of x(t) and y(t)
% Modified:
%
% The equilibrium points are the following:
%
% [x = 0, y = 0],
%

% Clear all variables
clear all;

% Window ranges
xmin=-3;
xmax=3;
ymin=-3;
ymax=3;

% Equilibrium points
eq = [0 0];
disp('Equilibrium points:');
disp(eq);

% Set initial conditions
x0=input('Insert initial conditions [x0 y0]: ');

% Set final time for integration
tmax=input('Insert final time: ');

disp('Initial condition:');
disp(x0);

% Time parameters
tmin=0;
dt=.01;
% Create time
t = tmin:dt:tmax;

% dx and dy used only for vectors
dx=abs(xmax-xmin)/30;
dy=abs(ymax-ymin)/30;
% rescales vector size
scale=0.027*max(abs(xmax-xmin),abs(ymax-ymin));

% Definition of the dynamical system
function xdot=dsys(x, t)

```

```

    u = x(1);
    v = x(2);
    xdot(1) = v+u*(cos(u^2+v^2)-1)*(sin(u^2+v^2)-1);
    xdot(2) = -u+v*(cos(u^2+v^2)-1)*(sin(u^2+v^2)-1);
endfunction

__gnuplot_set__ nokey
axis([xmin xmax ymin ymax]);

[X, Y] = meshgrid(xmin:dx:xmax, ymin:dy:ymax);

DX = Y+X.*(cos(X.^2 + Y.^2) - 1).*(sin(X.^2 + Y.^2) - 1);
DY = -X+Y.*(cos(X.^2 + Y.^2) - 1).*(sin(X.^2 + Y.^2) - 1);
L = sqrt(DX.^2 + DY.^2);
mytitle=["Phase portrait. Initial conditions: x0=" num2str(x0(1)) \
        ", y0=" num2str(x0(2))];
__gnuplot_set__ nokey
__gnuplot_set__ xlabel 'x(t)'
__gnuplot_set__ ylabel 'y(t)'
title(mytitle)

% Plot vector field
quiver(X, Y, scale*DX./L, scale*DY./L)
hold on;

% Plot all equilibrium points
plot( eq(:,1), eq(:,2), '*k')

x = lsode("dsys", x0, t)';
plot( x(1,1), x(2,1), '*k', x(1,:), x(2,:), '-r')
hold off;

% Wait for keypressed
disp('Please press a key to continue...');
pause();
mytitle=["Time histories. Initial conditions: x0=" num2str(x0(1)) ", y0=\
        " num2str(x0(2))];
__gnuplot_set__ auto
__gnuplot_set__ xlabel 't'
__gnuplot_set__ ylabel 'x(t), y(t)'
title(mytitle)
__gnuplot_set__ key

% Plot time histories
plot( t, x(1,:), '-r;x(t);', t, x(2,:), '-g;y(t);')

```

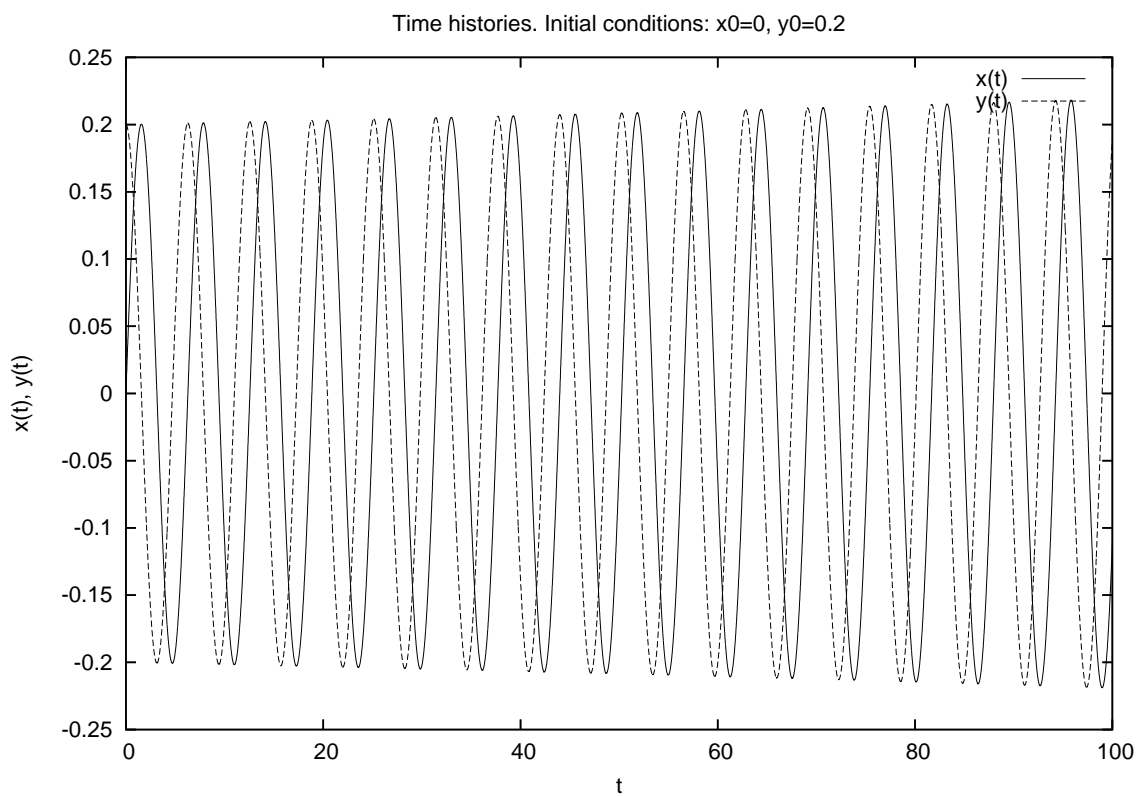
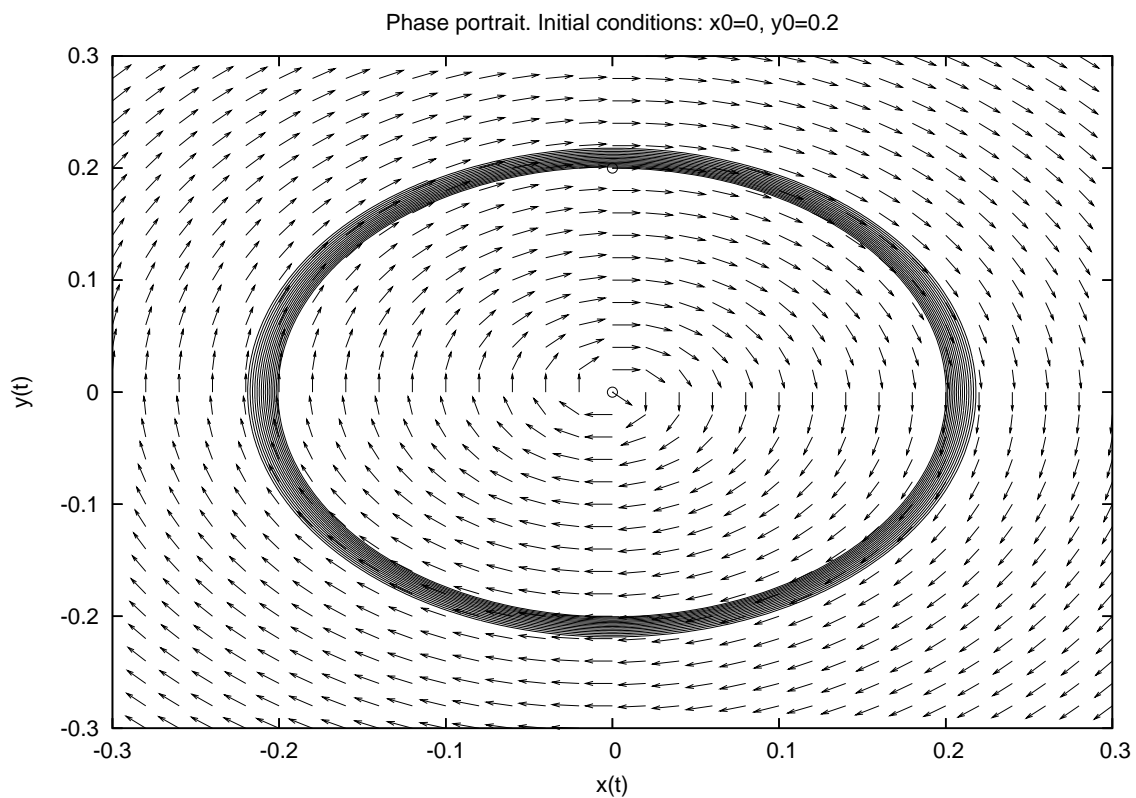


Figura 5: Ritratto di fase e storia temporale per $(x_0, y_0) = (0, 0.2)$ e $t_f = 100$.

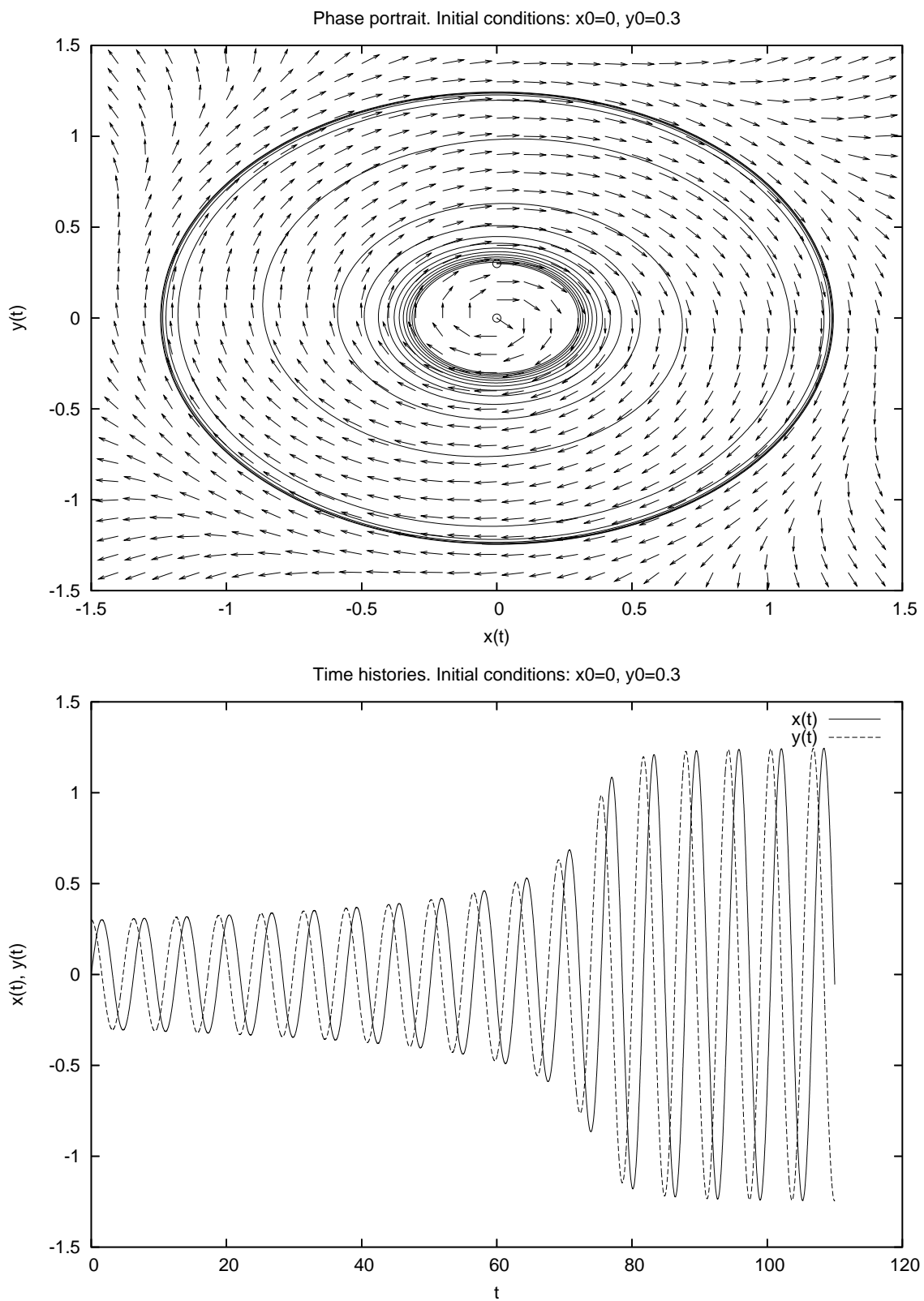


Figura 6: Ritratto di fase e storia temporale per $(x_0, y_0) = (0, 0.3)$ e $t_f = 110$.

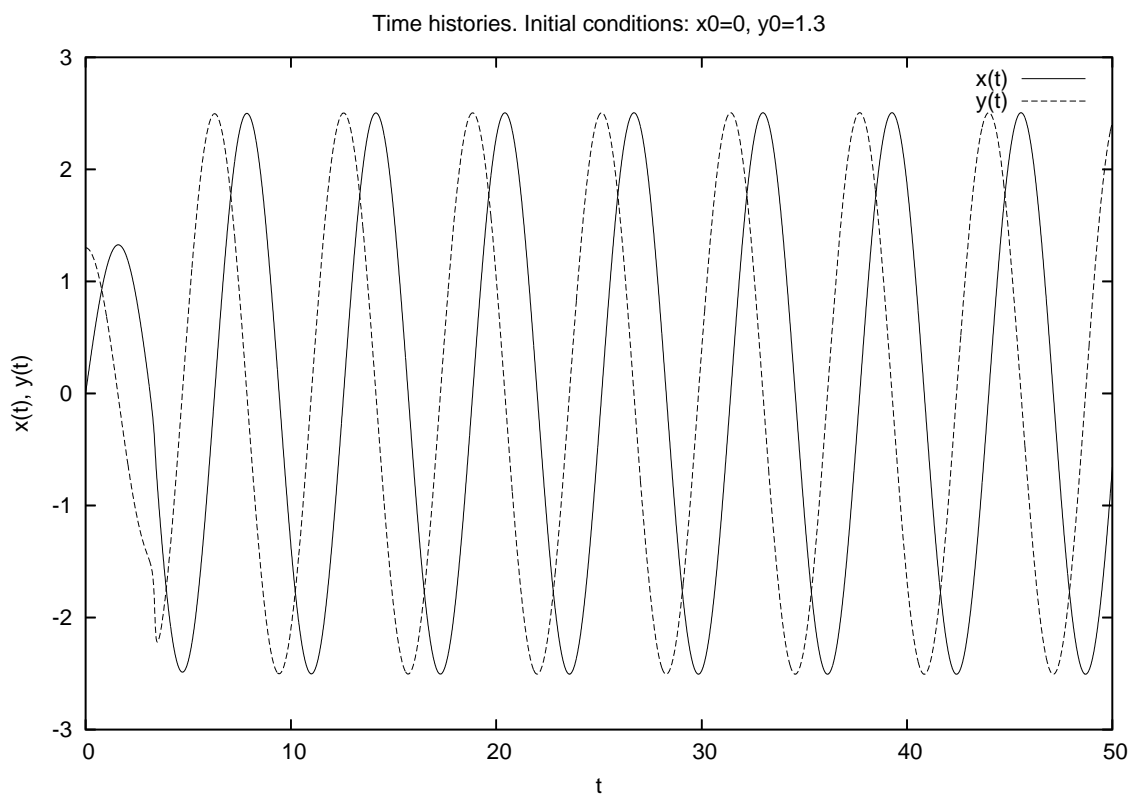
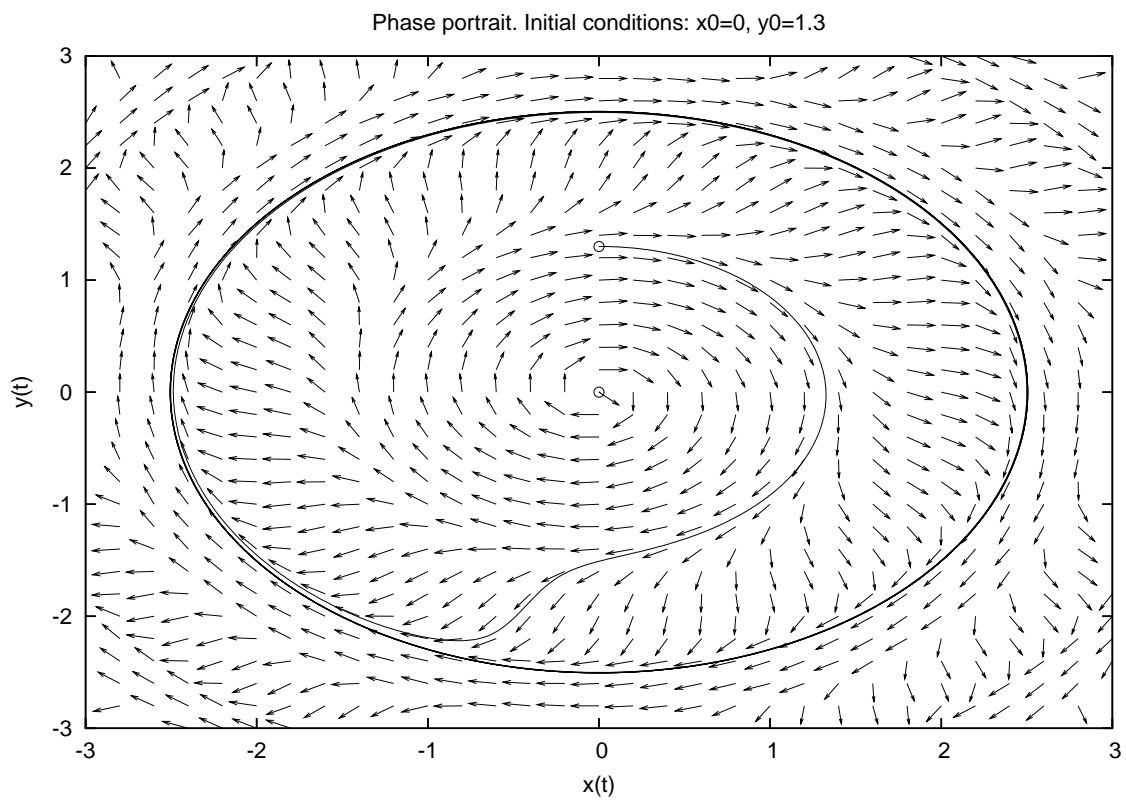


Figura 7: Ritratto di fase e storia temporale per $(x_0, y_0) = (0, 1.3)$ e $t_f = 50$.

1.3 Esercizio

Studiare, al variare delle condizioni iniziali e del tempo finale, il comportamento del sistema

$$\begin{cases} x' &= -y + x(x^2 + y^2) \cos(\pi/(x^2 + y^2)) \\ y' &= x + y(x^2 + y^2) \cos(\pi/(x^2 + y^2)) \end{cases}$$

1.3.1 Risoluzione

L'unico punto di equilibrio per il sistema dato è l'origine. Per capirne la natura si può procedere con l'analisi agli autovalori del sistema linearizzato oppure studiare l'equazione differenziale ordinaria della distanza dall'origine ($\rho = \sqrt{x^2 + y^2}$) ricavata moltiplicando la prima equazione per x , la seconda per y , e sommandole. Così facendo si ottiene $\rho \rho' = \rho^4 \cos(\pi/\rho^2)$. Quindi, la distanza dall'origine può aumentare o diminuire dipendentemente dal segno di $\cos(\pi/\rho^2)$. In particolare, le orbite per le quali è costante la distanza dall'origine si ottengono da $\cos(\pi/\rho) = 0 \Rightarrow x^2 + y^2 = 2/(2k + 1)$, ovvero sono circonferenze concentriche aventi centro nell'origine e raggio $\sqrt{2/(2k + 1)}$. La più ampia di queste circonferenze ha raggio $r = \sqrt{2}$, mentre al limite ($k \rightarrow +\infty$) il raggio tende a zero.

Per ottenere gli intervalli in cui la traiettorie diminuiscono la loro distanza dal centro, basta risolvere la disequazione $\cos(\pi/\rho^2) < 0$, che dopo alcuni passaggi porta a $\sqrt{2/(4k + 3)} < \rho < \sqrt{2/(4k + 1)}$. Ovviamente, per valori di ρ positivi e complementari ai precedenti le traiettorie si allontanano dall'origine, i.e. per $\sqrt{2/(4k + 5)} < \rho < \sqrt{2/(4k + 3)}$. Riassumendo:

- per condizioni iniziali aventi distanza dall'origine $\rho_0 > \sqrt{2}$ le traiettorie divergono molto velocemente;
- per condizioni iniziali tali per cui $\sqrt{2/(4k + 3)} < \rho_0 < \sqrt{2/(4k + 1)}$, ovvero comprese in certe corone circolari, la distanza dall'origine decresce ma vengono catturate dalla circonferenza più interna della corona avente raggio $r = \sqrt{2/(4k + 3)}$;
- per condizioni iniziali tali per cui $\sqrt{2/(4k + 5)} < \rho_0 < \sqrt{2/(4k + 3)}$, ovvero comprese nelle corone circolari complementari alle precedenti, la distanza dall'origine cresce ma vengono catturate dalla circonferenza più esterna della corona avente raggio $r = \sqrt{2/(4k + 3)}$.

Utilizzando il file `sys3.m`, di seguito riportato, si facciano diverse prove al variare della condizione iniziale e del tempo finale di integrazione. In particolare, si discuta cosa succede partendo da condizioni iniziali (x_0, y_0) tali per cui la loro distanza dall'origine $\rho_0 = \sqrt{x_0^2 + y_0^2}$ varia in certi range. Per fissare le idee, si può prendere $x_0 = 0$ e variare y_0 . **Si ricordi di cambiare gli estremi della finestra di visualizzazione dipendentemente dalla condizione iniziale.**

- $\rho_0 > \sqrt{4}$. Si osserva un rapido allontanamento dall'origine come riportato in figura 8.

- $\sqrt{2/(4k+3)} < \rho_0 < \sqrt{2/(4k+1)}$. Se si prende $k = 0$ questo significa $\sqrt{2/3} < \rho_0 < \sqrt{2}$, e si ottiene un rapido collasso sull'orbita più interna, i.e. la circonferenza avente raggio $\rho_0 = \sqrt{2/(4k+3)} \approx 0.81650$, come mostrato in figura 9.
- $\sqrt{2/(4k+5)} < \rho_0 < \sqrt{2/(4k+3)}$. Se si prende $k = 0$ questo significa $\sqrt{2/5} < \rho_0 < \sqrt{2/3}$, e si ottiene un rapido collasso sull'orbita più esterna, i.e. la circonferenza avente raggio $r\rho_0 = \sqrt{2/(4k+3)} \approx 0.81650$, come mostrato in figura 10.
- Limite per $r \rightarrow 0$. In questo caso si parte da condizioni iniziali vicine all'origine, per cui il comportamento è determinato da quanto succede per $k \rightarrow +\infty$. Si osserva che, al tendere di k a $+\infty$, le quantità $\sqrt{2/(4k+5)}$, $\sqrt{2/(4k+3)}$, $\sqrt{2/(4k+1)}$ tendono tutte a 0 e si "compattano" molto velocemente. Questo significa che, indipendentemente da dove si parte, si finisce su una circonferenza prossima alla condizione iniziale. In questo senso, l'origine è stabile ma non asintoticamente poiché le traiettorie possono allontanarsi o avvicinarsi ad essa (dipendentemente dalla discussione precedente) ma rimangono comunque intrappolate in corone di raggio arbitrariamente piccolo. Per esempio, in figura 11 è riportato il caso della condizione iniziale $(x_0, y_0) = (0, 0.0703)$, che rimane intrappolata nelle corone di raggio $r_1 = 0.0702728368926307$ e $r_2 = 0.0704469953676347$, che corrispondono a $k = 100$ e quindi viene attratta verso la circonferenza più esterna, come si può facilmente notare scrivendo a schermo la distanza dall'origine per l'ultimo punto calcolato con il comando `sqrt(x(1,size(x)(2))^2+x(2,size(x)(2))^2)`.

```

% Name:      sys3.m
% Author:    Simone Zuccher
% Created:   03 May 2007
% Purpose:   Solve the ODE system
%           x'=-y+x(x^2+y^2)cos(\pi/(x^2+y^2))
%           y'=x+y(x^2+y^2)cos(\pi/(x^2+y^2))
%           given the initial condition x0 and y0
% Input:     Initial condition [x0 y0], final time tfinal
% Output:    1. plot of x(t) versus y(t) together with the vector field
%           2. plot time histories of x(t) and y(t)
% Modified:
%
% The equilibrium points are the following:
%
% [x = 0, y = 0],
%
%
% Clear all variables
clear all;

% Window ranges
xmin=-3;
xmax=3;
ymin=-3;

```

```

ymax=3;

% Equilibrium points
eq = [0 0];
disp('Equilibrium points:');
disp(eq);

% Set initial conditions
x0=input('Insert initial conditions [x0 y0]: ');

% Set final time for integration
tmax=input('Insert final time: ');

disp('Initial condition:');
disp(x0);

% Time parameters
tmin=0;
dt=.01;
% Create time
t = tmin:dt:tmax;

% dx and dy used only for vectors
dx=abs(xmax-xmin)/30;
dy=abs(ymax-ymin)/30;
% rescales vector size
scale=0.027*max(abs(xmax-xmin),abs(ymax-ymin));

% Definition of the dynamical system
function xdot=dsys(x, t)
    u = x(1);
    v = x(2);
    xdot(1) = -v+u*(u^2+v^2)*cos(pi/(u^2+v^2));
    xdot(2) = u+v*(u^2+v^2)*cos(pi/(u^2+v^2));
endfunction

__gnuplot_set__ nokey
axis([xmin xmax ymin ymax]);

[X, Y] = meshgrid(xmin:dx:xmax, ymin:dy:ymax);

DX = -Y+X.*(X.^2 + Y.^2).*cos(pi./(X.^2 + Y.^2));
DY = X+Y.*(X.^2 + Y.^2).*cos(pi./(X.^2 + Y.^2));
L = sqrt(DX.^2 + DY.^2);
mytitle=["Phase portrait. Initial conditions: x0=" num2str(x0(1)) \
        ", y0=" num2str(x0(2))];
__gnuplot_set__ nokey
__gnuplot_set__ xlabel 'x(t)'

```

```

__gnuplot_set__ ylabel 'y(t)'
title(mytitle)

% Plot vector field
quiver(X, Y, scale*DX./L, scale*DY./L)
hold on;

% Plot all equilibrium points
plot( eq(:,1), eq(:,2), '*k')

x = lsode("dsys", x0, t)';
plot( x(1,1), x(2,1), '*k', x(1,:), x(2,:), '-r')
hold off;

% Wait for keypressed
disp('Please press a key to continue...');
pause();
mytitle=["Time histories. Initial conditions: x0=" num2str(x0(1)) \
        ", y0=" num2str(x0(2))];
__gnuplot_set__ auto
__gnuplot_set__ xlabel 't'
__gnuplot_set__ ylabel 'x(t), y(t)'
title(mytitle)
__gnuplot_set__ key

% Plot time histories
plot( t, x(1,:), '-r;x(t);', t, x(2,:), '-g;y(t);')

```

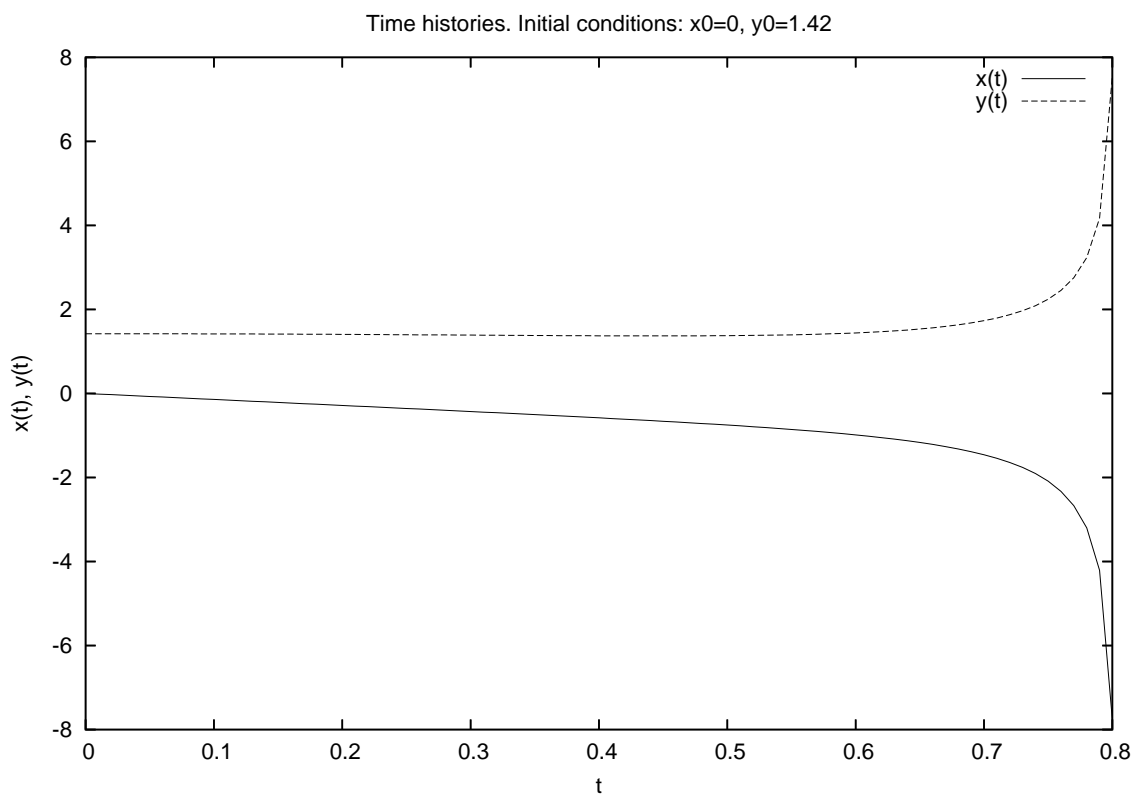
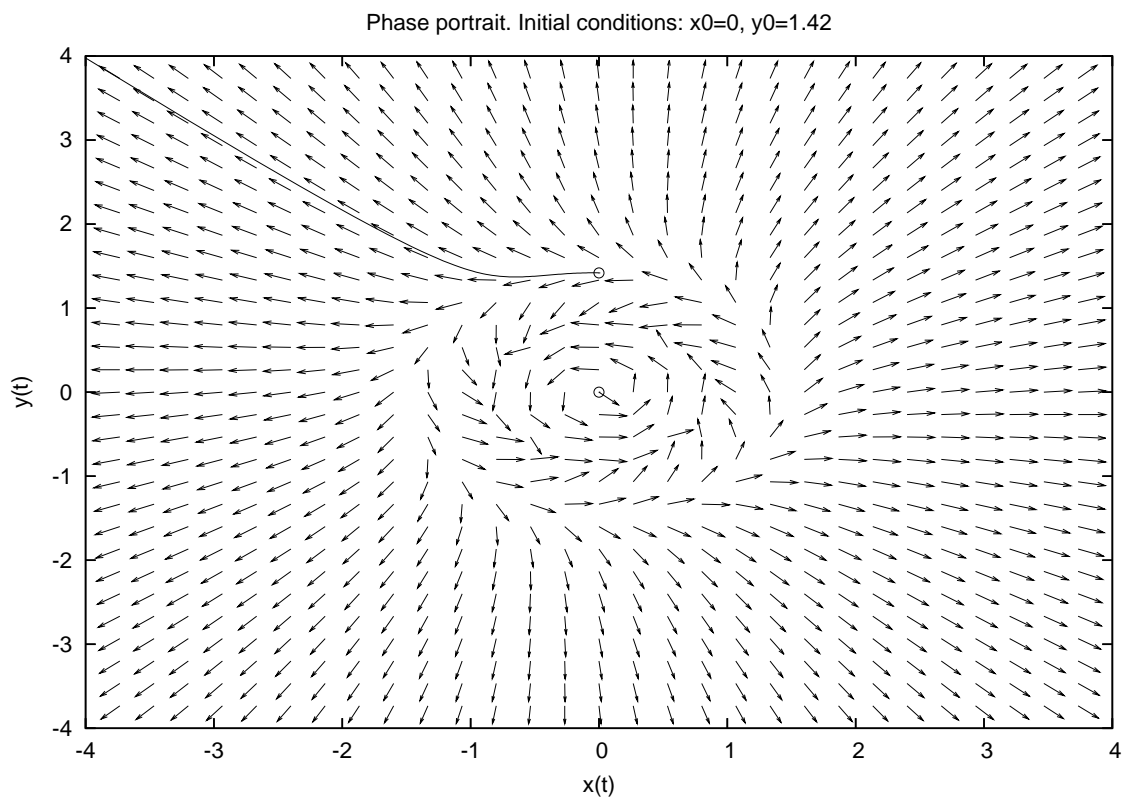


Figura 8: Ritratto di fase e storia temporale per $(x_0, y_0) = (0, 1.42)$ e $t_f = 0.8$.

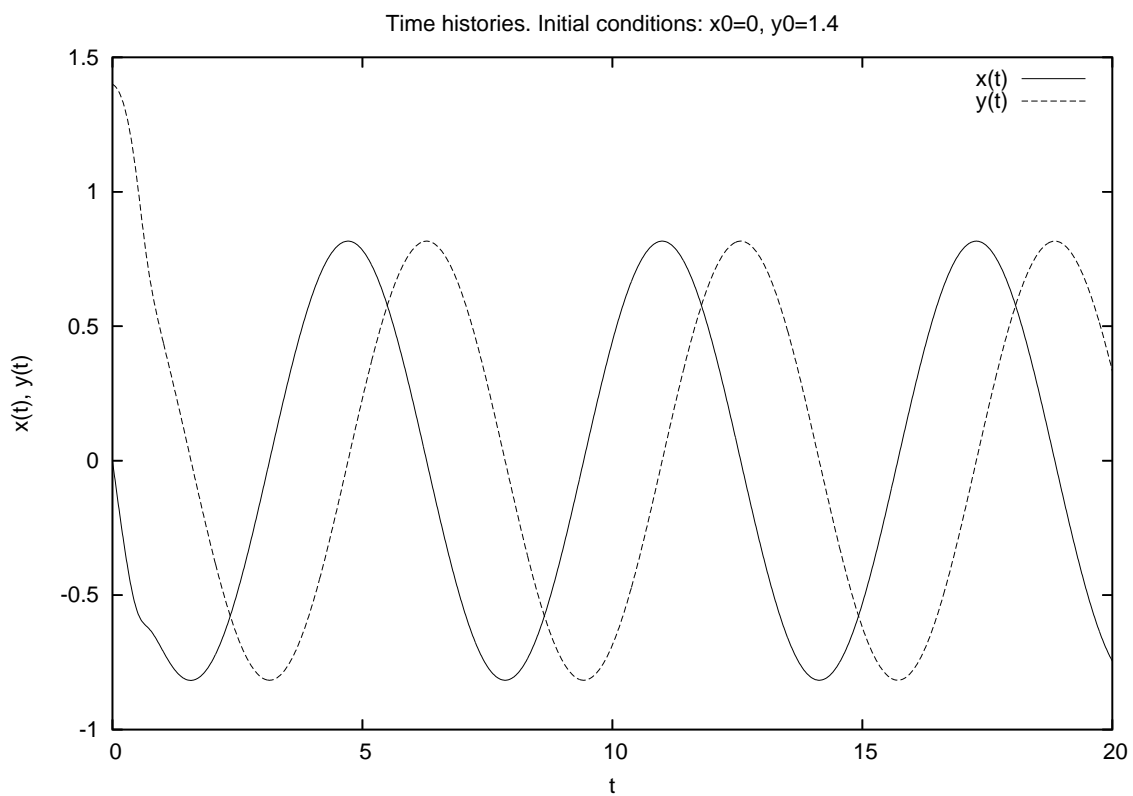
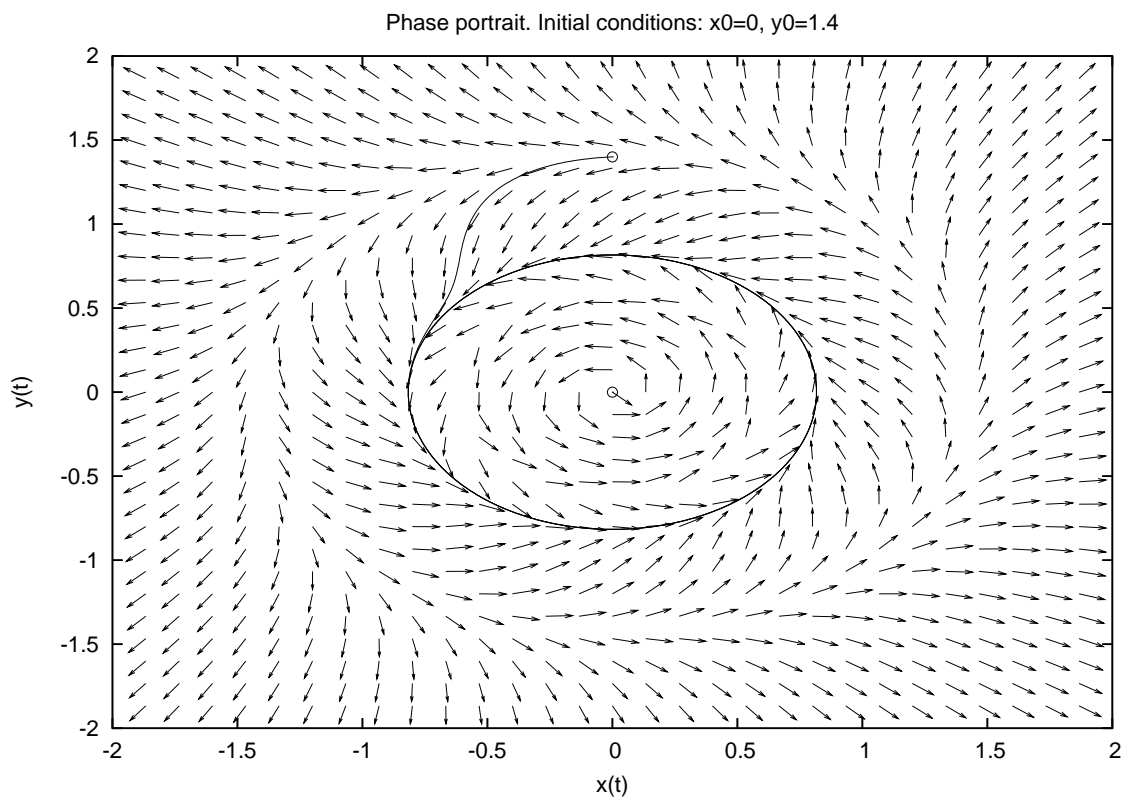


Figura 9: Ritratto di fase e storia temporale per $(x_0, y_0) = (0, 1.4)$ e $t_f = 20$.

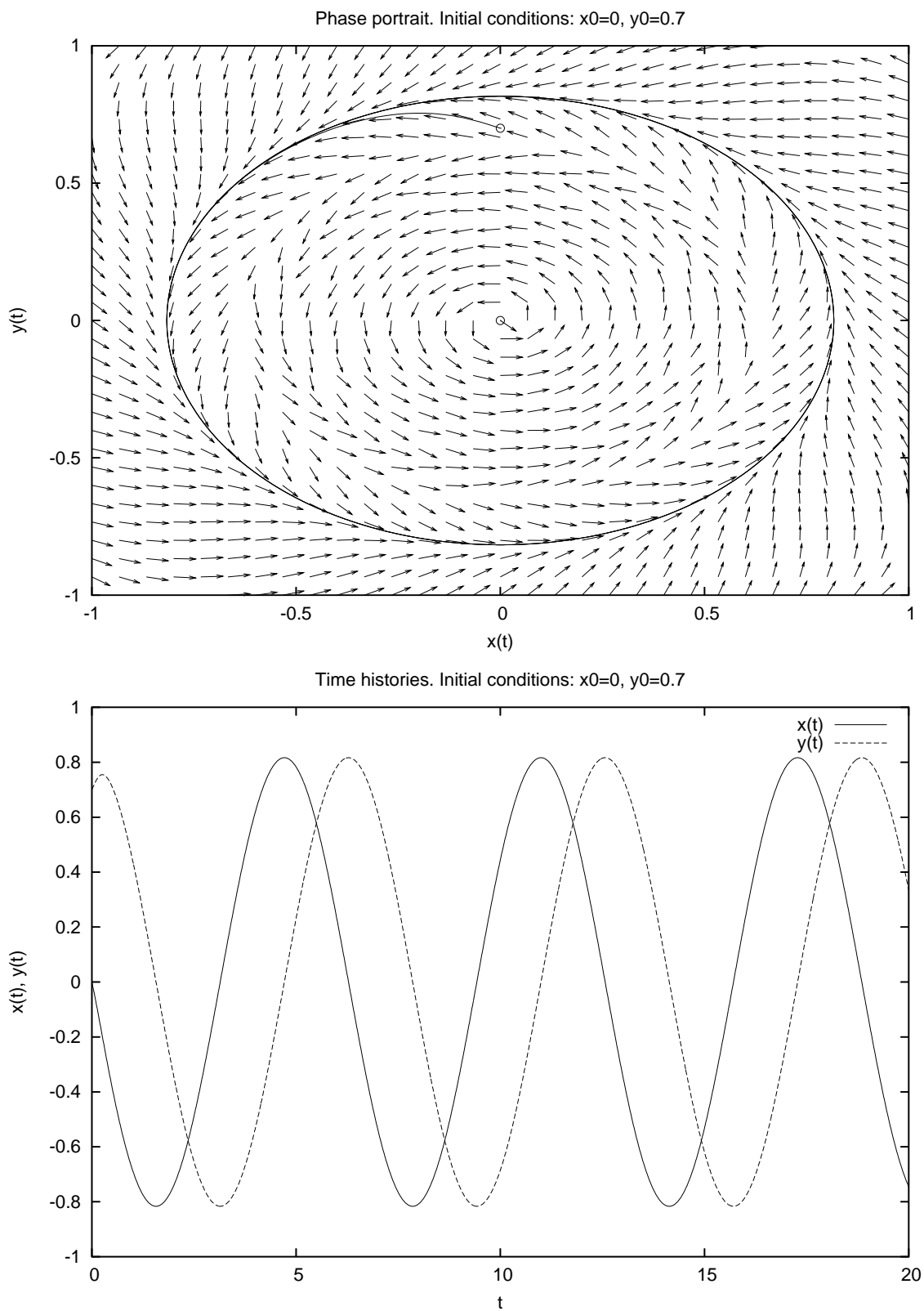


Figura 10: Ritratto di fase e storia temporale per $(x_0, y_0) = (0, 0.7)$ e $t_f = 20$.

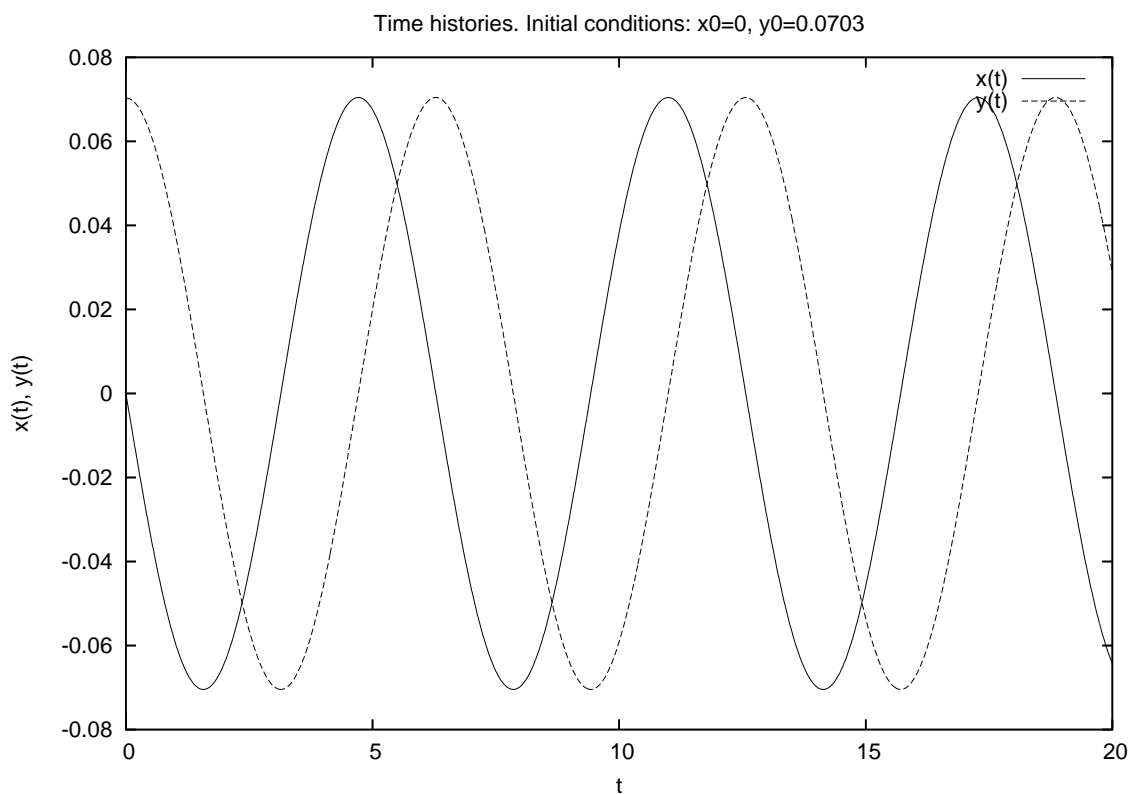
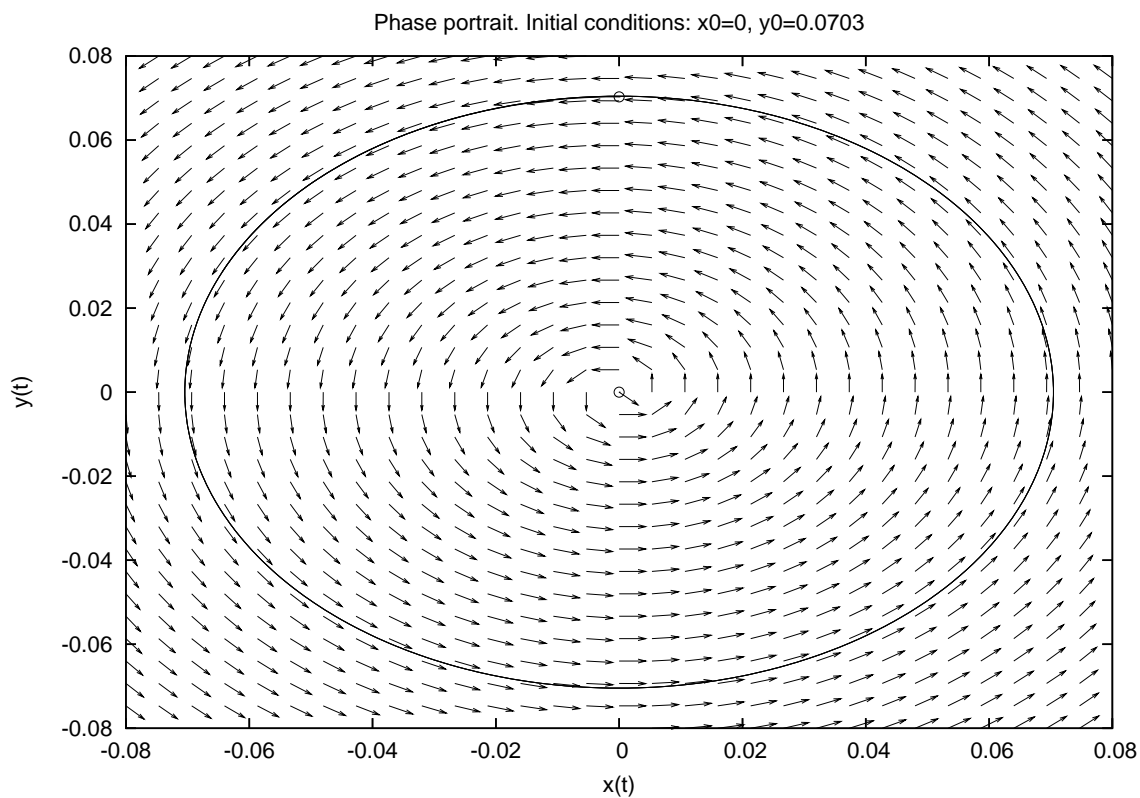


Figura 11: Ritratto di fase e storia temporale per $(x_0, y_0) = (0, 0.0703)$ e $t_f = 20$.

1.4 Esercizio

Studiare, al variare delle condizioni iniziali, del parametro $a > 0$ e del tempo finale, il comportamento dell'equazione (di van der Pool)

$$y'' + a(y^2 - 1)y' + y = 0.$$

1.4.1 Risoluzione

Si noti innanzitutto che l'equazione data può essere riscritta sotto forma di sistema del prim'ordine

$$\begin{cases} x' &= -y - a(y^2 - 1)x \\ y' &= x \end{cases}$$

L'unico punto di equilibrio per il sistema dato è l'origine. Lo Jacobiano è

$$J(x, y) = \begin{pmatrix} -a(y^2 - 1) & -(2axy + 1) \\ 1 & 0 \end{pmatrix},$$

che calcolato nell'origine risulta

$$J(0, 0) = \begin{pmatrix} a & -1 \\ 1 & 0 \end{pmatrix}$$

ed ammette gli autovalori $\lambda_{1,2} = (a \pm \sqrt{a^2 - 4})/2$. Essi sono complessi a parte reale positiva se $0 < a < 2$, pertanto in questo caso l'origine è un fuoco instabile (le orbite se ne allontanano seguendo una spirale). Se invece $a > 2$ l'origine è un nodo instabile essendo entrambi gli autovlori negativi. Si può dimostrare (attraverso l'analisi nel *piano di Lienard*) che esiste un unico ciclo stabile nel senso che ogni traiettoria non passante per l'origine si avvolge su di esso per $t \rightarrow +\infty$. Omettiamo qui la dimostrazione, ma procediamo con l'analisi di tipo numerico.

La figura 12 mostra la natura dell'origine, i.e. il suo essere un fuoco instabile ($a = 1$, $(x_0, y_0) = (10^{-4}, 10^{-4})$ e $t_f = 100$). Come si può facilmente intuire guardando il ritratto di fase, partendo da ogni punto interno al ciclo stabile, la traiettoria ne viene attratta. La figura 13 ($a = 1$, $(x_0, y_0) = (-2, 2.1)$ e $t_f = 100$) mostra invece come anche partendo da una condizione iniziale esterna al ciclo stabile, comunque per $t \rightarrow +\infty$ la traiettoria ne viene attratta. Infine, in figura 14 viene riportato un caso con $a = 0.1$. Come si può notare, cambiare il parametro a significa essenzialmente cambiare la forma del ciclo stabile ma non la sua natura.

Utilizzando il file `sys4.m` si osservi il comportamento del sistema al variare dei parametri a disposizione.

```
% Name:      sys4.m
% Author:    Simone Zuccher
% Created:   03 May 2007
% Purpose:   Solve the ODE system (Van der Pool equation)
%           x'=-y-a*x*(y^2-1)
%           y'=x
```

```

%           given the initial condition x0 and y0
% Input:    Initial condition [x0 y0], final time tfinal
% Output:   1. plot of x(t) versus y(t) together with the vector field
%           2. plot time histories of x(t) and y(t)
% Modified:
%
% The equilibrium points are the following:
%
% [x = 0, y = 0],
%

% Clear all variables
clear all;
global a;

% Window ranges
xmin=-3;
xmax=3;
ymin=-3;
ymax=3;

% Equilibrium points
eq = [0 0];
disp('Equilibrium points:');
disp(eq);

% Set parameter a
a=input('Insert a: ');

% Set initial conditions
x0=input('Insert initial conditions [x0 y0]: ');

% Set final time for integration
tmax=input('Insert final time: ');

disp('Initial condition:');
disp(x0);

% Time parameters
tmin=0;
dt=.01;
% Create time
t = tmin:dt:tmax;

% dx and dy used only for vectors
dx=abs(xmax-xmin)/30;
dy=abs(ymax-ymin)/30;
% rescales vector size

```

```

scale=0.027*max(abs(xmax-xmin),abs(ymax-ymin));

% Definition of the dynamical system
function xdot=dsys(x, t)
    global a;
    u = x(1);
    v = x(2);
    xdot(1) = -v-a*u*(v^2-1);
    xdot(2) = u;
endfunction

__gnuplot_set__ nokey
axis([xmin xmax ymin ymax]);

[X, Y] = meshgrid(xmin:dx:xmax, ymin:dy:ymax);

DX = -Y-a*X.*(Y.^2-1);
DY = X;
L = sqrt(DX.^2 + DY.^2);
mytitle=["Phase portrait. Initial conditions: x0=" num2str(x0(1))\
        ", y0=" num2str(x0(2)) ". a=" num2str(a) "."];
__gnuplot_set__ nokey
__gnuplot_set__ xlabel 'x(t)'
__gnuplot_set__ ylabel 'y(t)'
title(mytitle)

% Plot vector field
quiver(X, Y, scale*DX./L, scale*DY./L)
hold on;

% Plot all equilibrium points
plot( eq(:,1), eq(:,2), '*k')

x = lsode("dsys", x0, t)';
plot( x(1,1), x(2,1), '*k', x(1,:), x(2,:), '-r')
hold off;

% Wait for keypressed
disp('Please press a key to continue...');
pause();
mytitle=["Time histories. Initial conditions: x0=" num2str(x0(1))\
        ", y0=" num2str(x0(2)) ". a=" num2str(a) "."];
__gnuplot_set__ auto
__gnuplot_set__ xlabel 't'
__gnuplot_set__ ylabel 'x(t), y(t)'
title(mytitle)
__gnuplot_set__ key

```

```
% Plot time histories
plot( t, x(1,:), '-r;x(t);', t, x(2,:), '-g;y(t);')
```

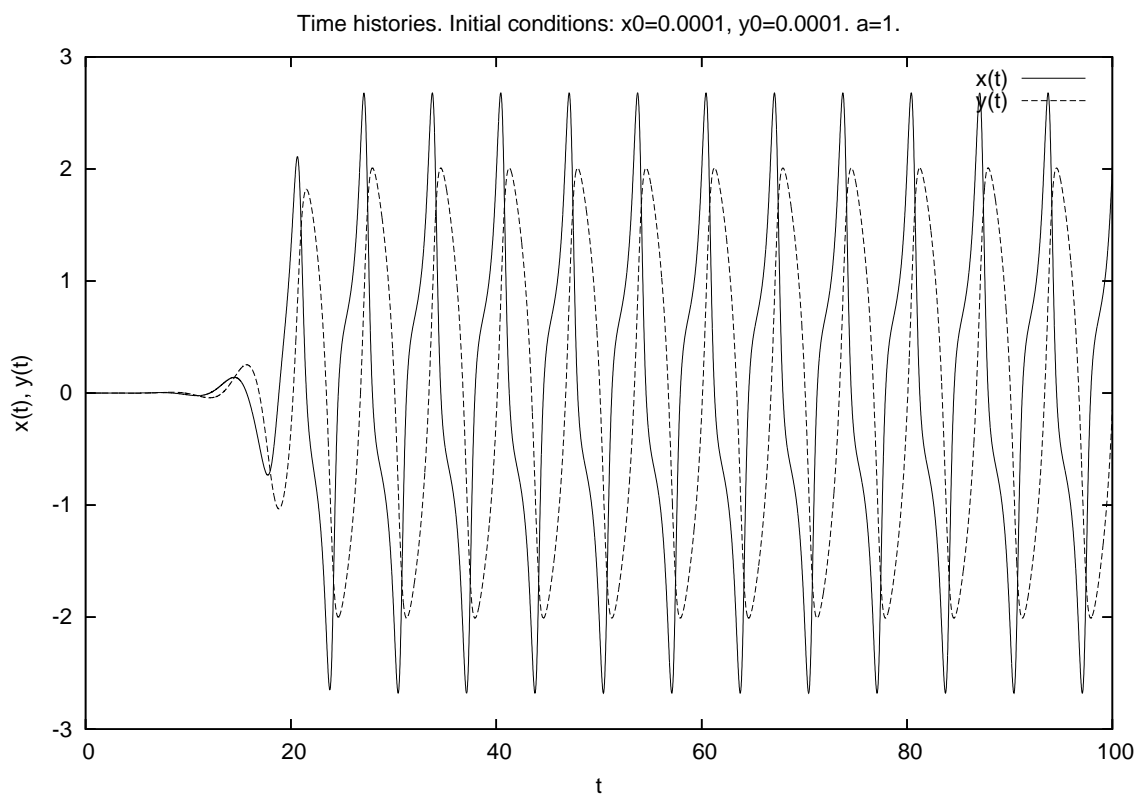
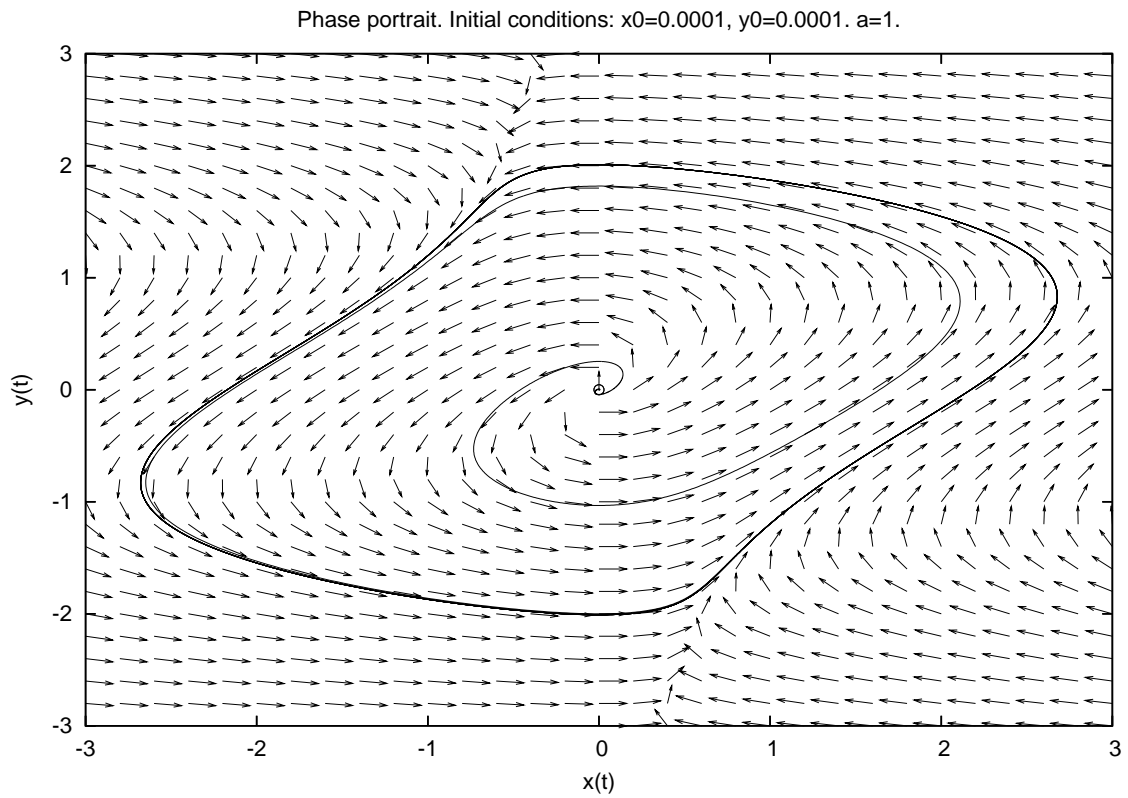


Figura 12: Ritratto di fase e storia temporale per $a = 1$, $(x_0, y_0) = (10^{-4}, 10^{-4})$ e $t_f = 100$.

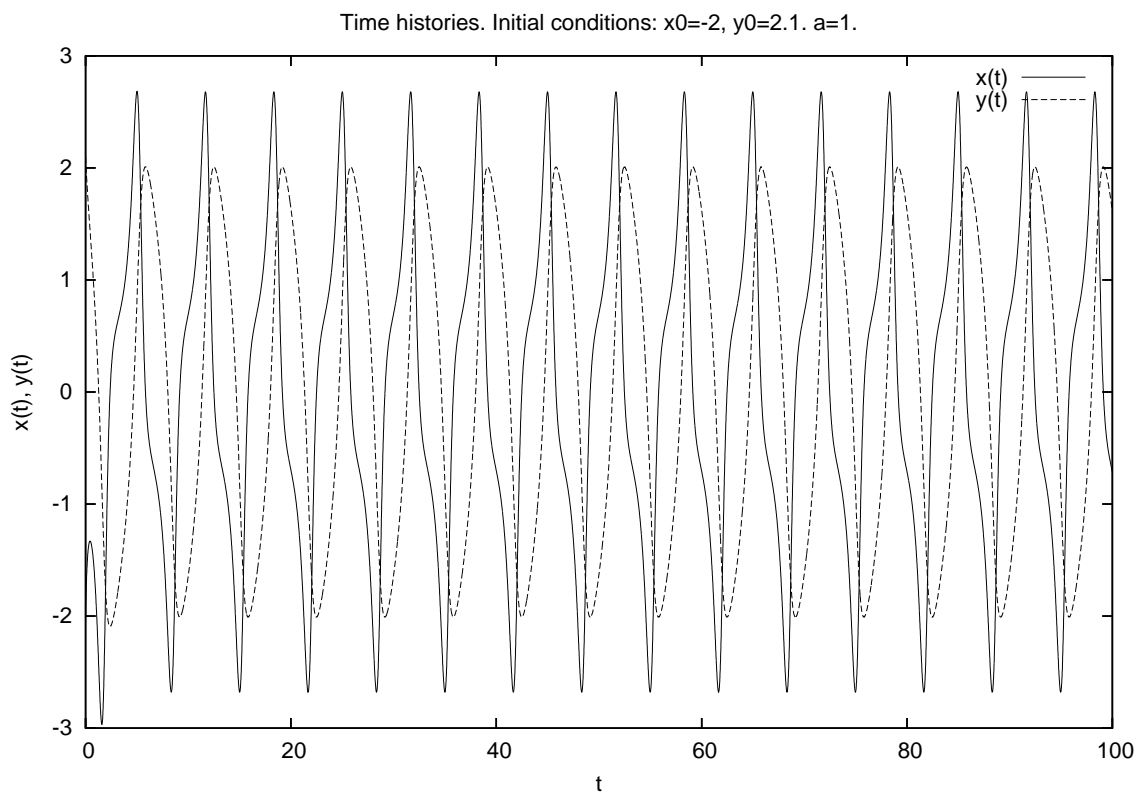
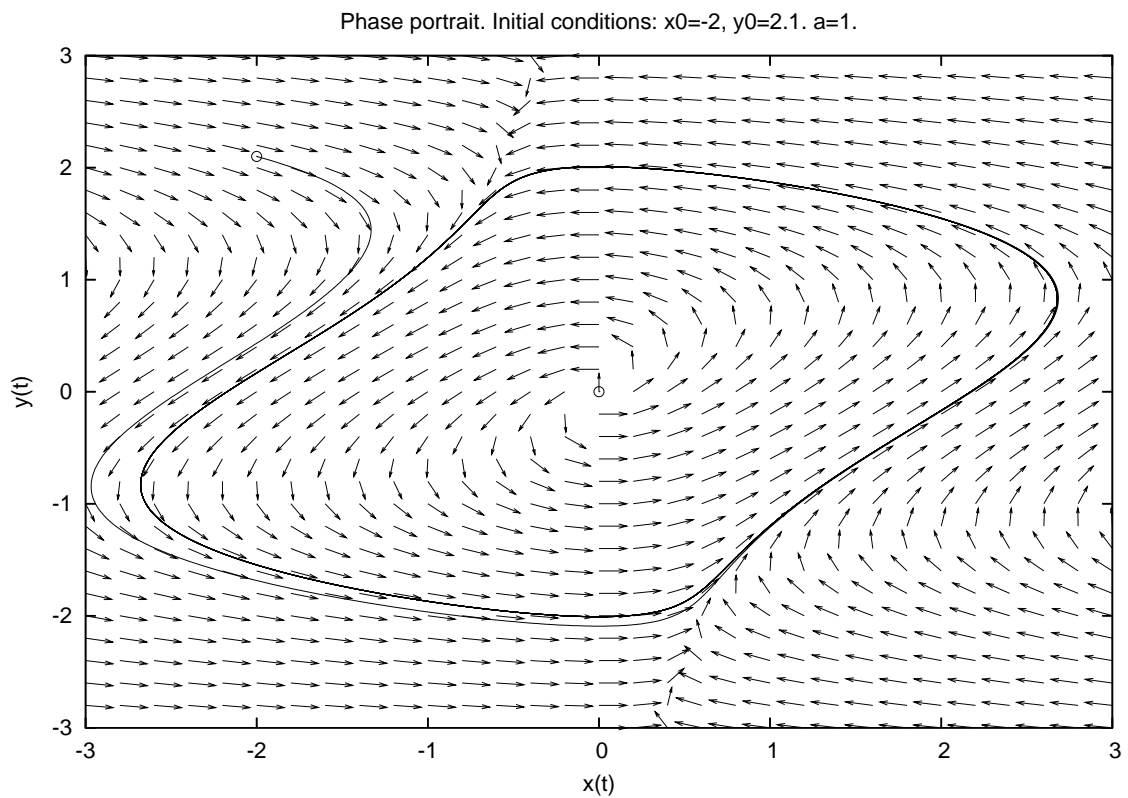


Figura 13: Ritratto di fase e storia temporale per $a = 1, (x_0, y_0) = (-2, 2.1)$ e $t_f = 100$.

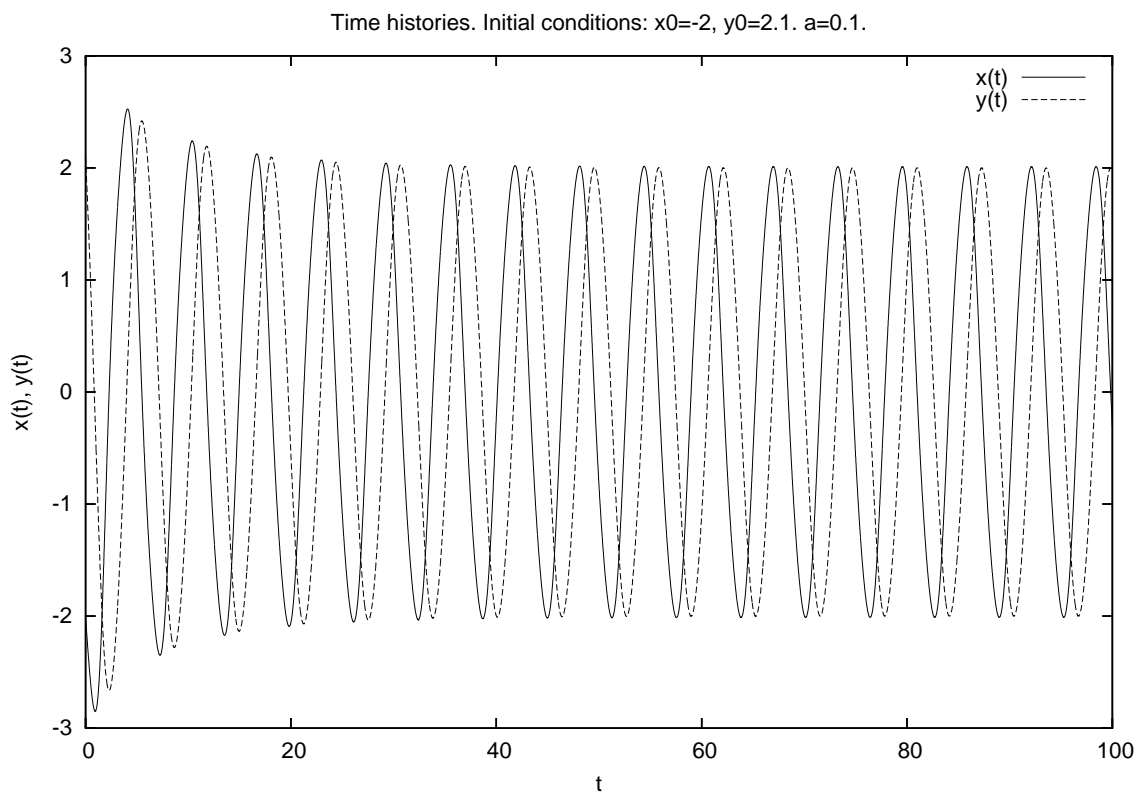
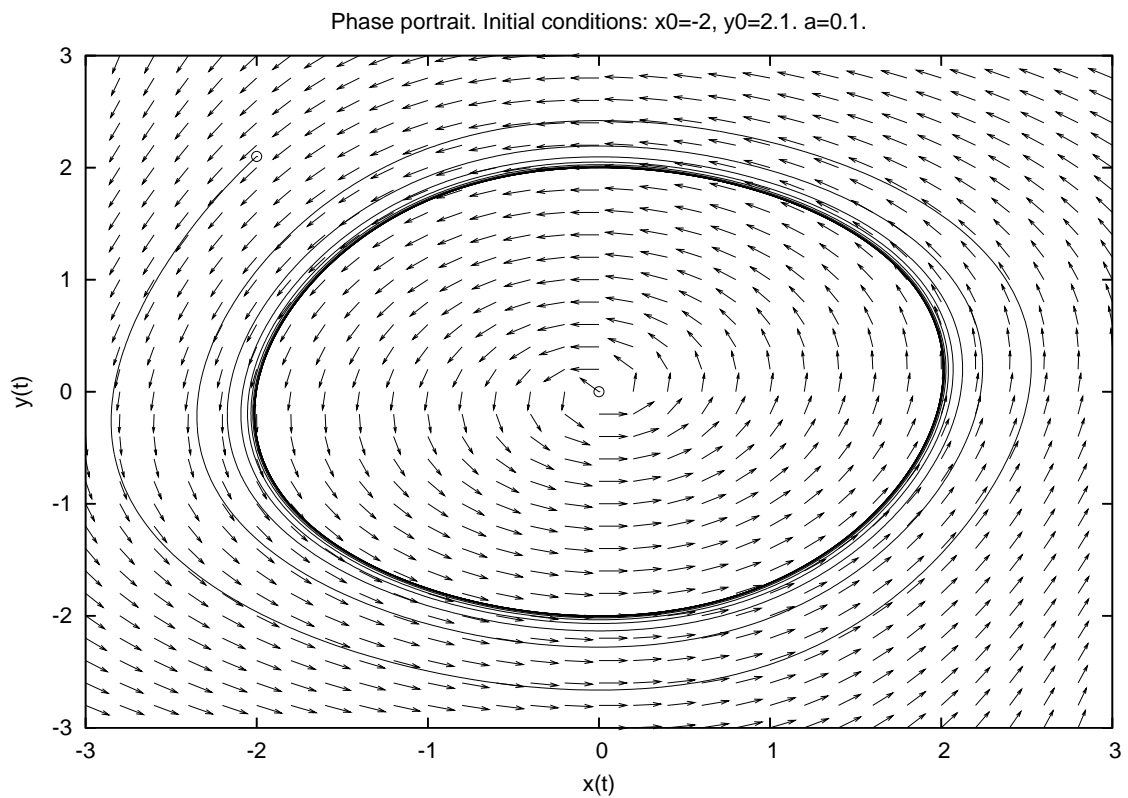


Figura 14: Ritratto di fase e storia temporale per $a = 0.1, (x_0, y_0) = (-2, 2.1)$ e $t_f = 100$.

1.5 Esercizio

Studiare, al variare delle condizioni iniziali e del tempo finale, il comportamento del sistema

$$\begin{cases} x' = y \\ y' = (1 - x^2 - y^2)y - x \end{cases}$$

1.5.1 Risoluzione

L'unico punto di equilibrio per il sistema dato è l'origine. Per capirne la natura si procede, come al solito, o tramite l'analisi degli autovalori del sistema linearizzato attorno all'origine oppure tramite lo studio dell'equazione differenziale ordinaria della distanza dall'origine ($\rho = \sqrt{x^2 + y^2}$) ricavata moltiplicando la prima equazione per x , la seconda per y , e sommandole. Così facendo si ottiene $\rho \rho' = y^2(1 - \rho^2)$. Quindi, l'unica orbita per la quale $\rho' = 0$ è la circonferenza unitaria con centro nell'origine. La distanza dall'origine aumenta per condizioni iniziali interne a tale circonferenza e diminuisce per condizioni iniziali esterne. Pertanto, la circonferenza unitaria è un ciclo stabile e l'origine un fuoco instabile.

In file `sys5.m` può essere utilizzato per lo studio del sistema dato. Le figure [15](#) e [16](#) mostrano le caratteristiche sopra descritte.

```
% Name:      sys5.m
% Author:    Simone Zuccher
% Created:   03 May 2007
% Purpose:   Solve the ODE system
%           x'=y
%           y'=(1 - x^2 - y^2)y - x
%           given the initial condition x0 and y0
% Input:     Initial condition [x0 y0], final time tfinal
% Output:    1. plot of x(t) versus y(t) together with the vector field
%           2. plot time histories of x(t) and y(t)
% Modified:
%
% The equilibrium points are the following:
%
% [x = 0, y = 0],
%
%
% Clear all variables
clear all;
%
% Window ranges
xmin=-2;
xmax=2;
ymin=-2;
ymax=2;
%
% Equilibrium points
```

```

eq = [0 0];
disp('Equilibrium points:');
disp(eq);

% Set initial conditions
x0=input('Insert initial conditions [x0 y0]: ');

% Set final time for integration
tmax=input('Insert final time: ');

disp('Initial condition:');
disp(x0);

% Time parameters
tmin=0;
dt=.01;
% Create time
t = tmin:dt:tmax;

% dx and dy used only for vectors
dx=abs(xmax-xmin)/30;
dy=abs(ymax-ymin)/30;
% rescales vector size
scale=0.027*max(abs(xmax-xmin),abs(ymax-ymin));

% Definition of the dynamical system
function xdot=dsys(x, t)
    u = x(1);
    v = x(2);
    xdot(1) = v;
    xdot(2) = (1-u^2-v^2)*v - u;
endfunction

__gnuplot_set__ nokey
axis([xmin xmax ymin ymax]);

[X, Y] = meshgrid(xmin:dx:xmax, ymin:dy:ymax);

DX = Y;
DY = (1-X.^2 - Y.^2).*Y - X;
L = sqrt(DX.^2 + DY.^2);
mytitle=["Phase portrait. Initial conditions: x0=" num2str(x0(1))\
        ", y0=" num2str(x0(2)) "."];
__gnuplot_set__ nokey
__gnuplot_set__ xlabel 'x(t)'
__gnuplot_set__ ylabel 'y(t)'
title(mytitle)

```

```

% Plot vector field
quiver(X, Y, scale*DX./L, scale*DY./L)
hold on;

% Plot all equilibrium points
plot( eq(:,1), eq(:,2), '*k')

x = lsode("dsys", x0, t)';
plot( x(1,1), x(2,1), '*k', x(1,:), x(2,:), '-r')
hold off;

% Wait for keypressed
disp('Please press a key to continue...');
pause();
mytitle=["Time histories. Initial conditions: x0=" num2str(x0(1))\
        ", y0=" num2str(x0(2)) "."];
__gnuplot_set__ auto
__gnuplot_set__ xlabel 't'
__gnuplot_set__ ylabel 'x(t), y(t)'
title(mytitle)
__gnuplot_set__ key

% Plot time histories
plot( t, x(1,:), '-r;x(t);', t, x(2,:), '-g;y(t);')

```

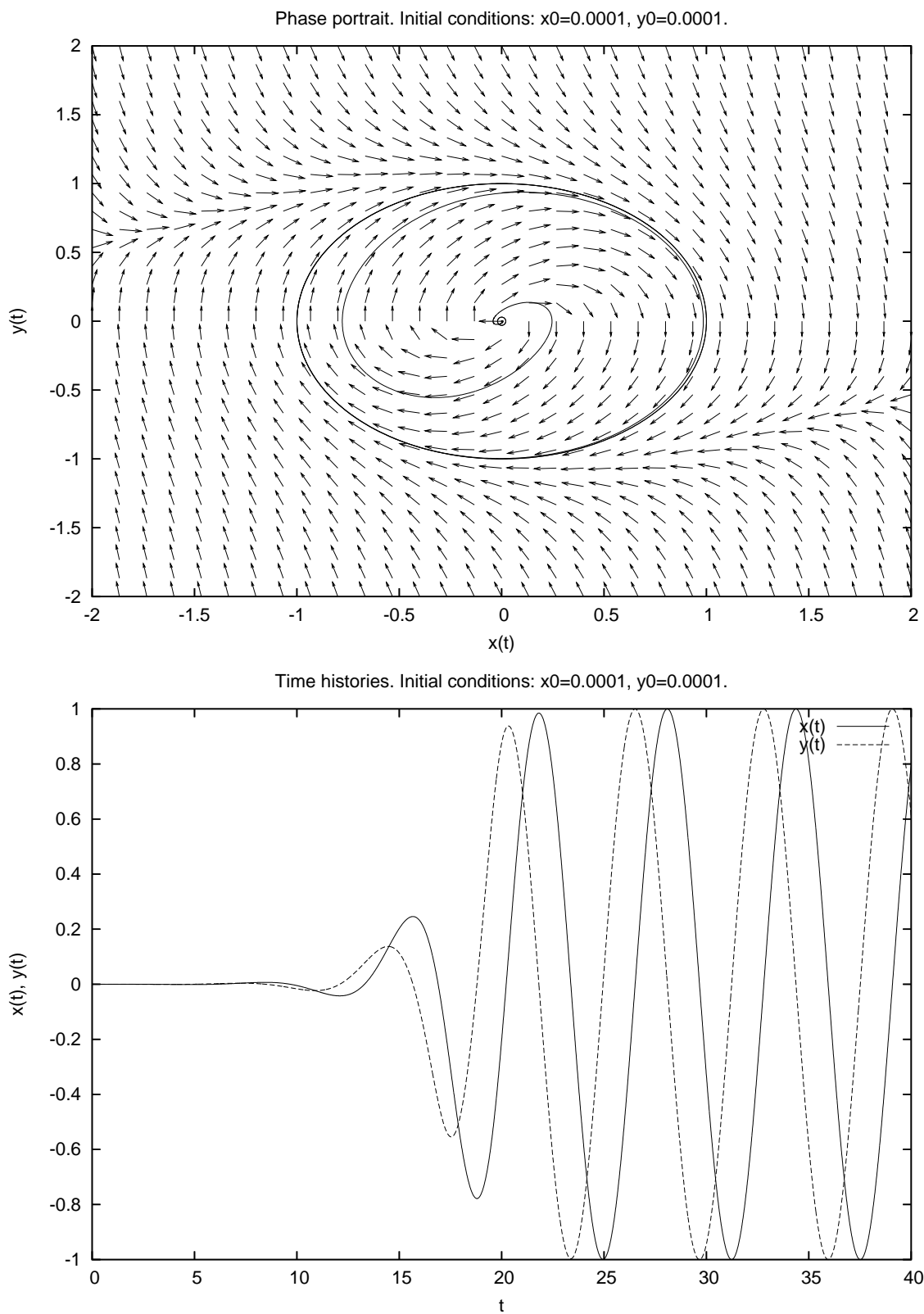


Figura 15: Ritratto di fase e storia temporale per $(x_0, y_0) = (10^{-4}, 10^{-4})$ e $t_f = 40$.

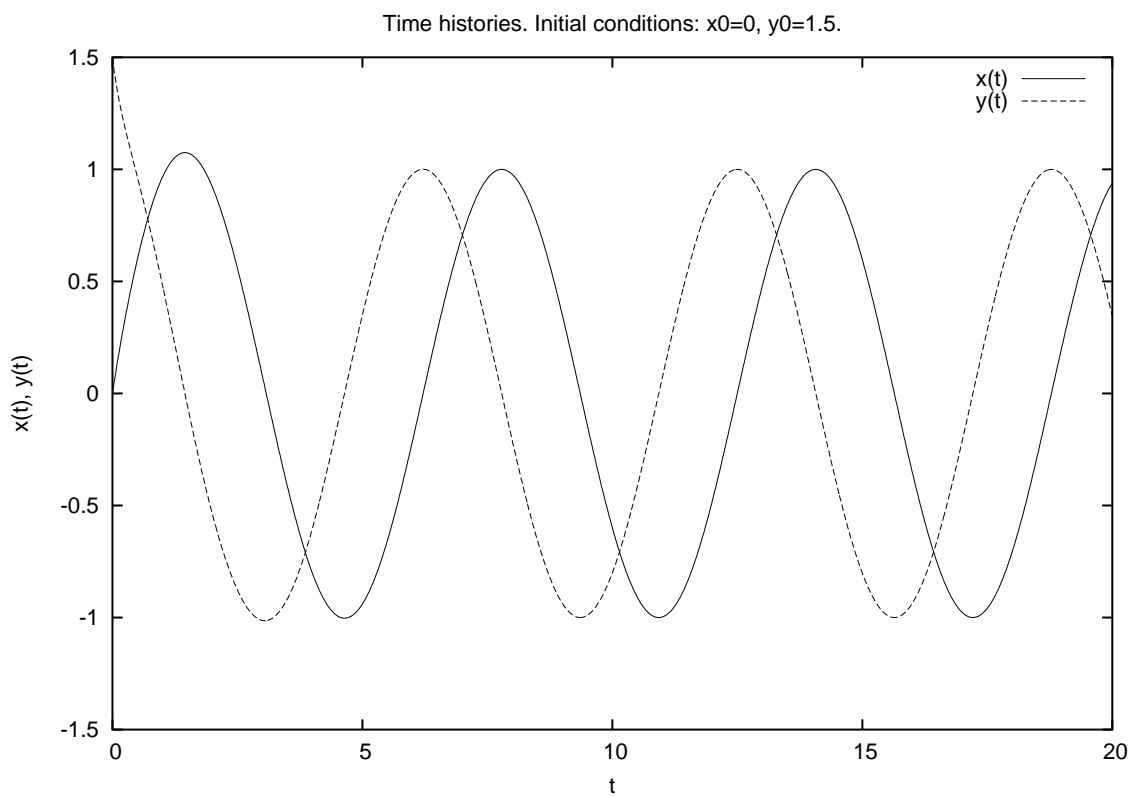
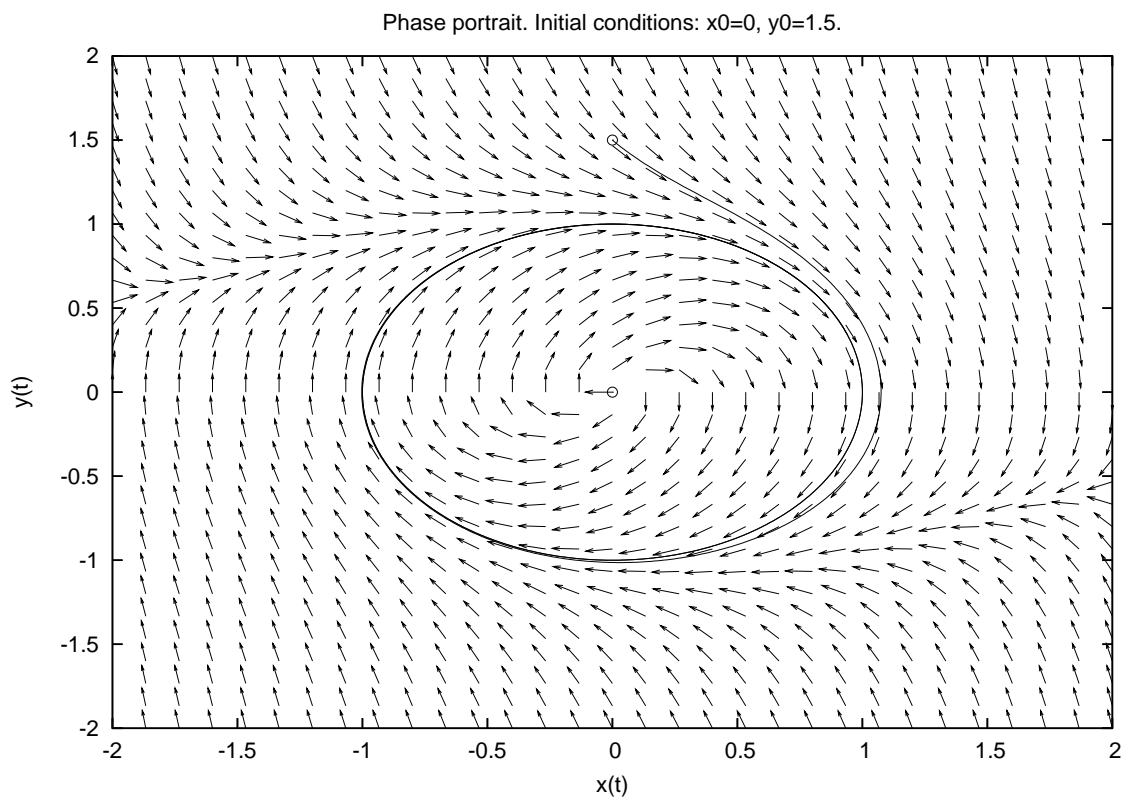


Figura 16: Ritratto di fase e storia temporale per $(x_0, y_0) = (0, 1.5)$ e $t_f = 20$.

1.6 Esercizio

Utilizzando le competenze acquisite in questa esercitazione e modificando adeguatamente gli script per Octave, studiare, al variare delle condizioni iniziali e del tempo finale, il comportamento dei sistemi

$$\begin{cases} x' = x - y - x^3 \\ y' = x - x^2y \end{cases}$$

$$\begin{cases} x' = -y^2 \\ y' = -x^2 \end{cases}$$